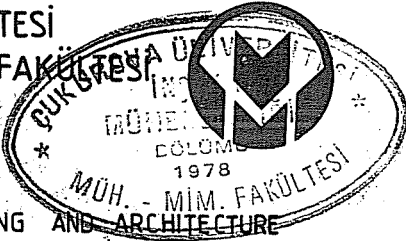




ÇUKUROVA ÜNİVERSİTESİ
MÜHENDİSLİK - MİMARLIK FAKÜLTETİ
DERGİSİ

ÇUKUROVA UNIVERSITY

JOURNAL OF THE FACULTY OF ENGINEERING AND ARCHITECTURE



CİLT
VOL

3

SAYI
NO

1

ARALIK
DECEMBER 1988

İÇİNDEKİLER
(CONTENTS)

Erdemli bölgesinde jeomorfolojik gözlemler

Geomorphological observations of the Erdemli region

..... Ahmet ACAR 5

U, Cu ve F aramalarında sıvı kapanım verileri

Fluid inclusions and their application in some mineral prospection

..... Servet YAMAN 19

Yaz klimasında ısı kazancının teorik nümerik hesaplanması

A numerical algorithm for computation of heat gain in summer time air conditioning

..... Tuncay YILMAZ, R.Tuğrul OĞULATA 27

Laminer gelişen akışta çeşitli kesit alanlı borularda basınç kaybının hesaplanması

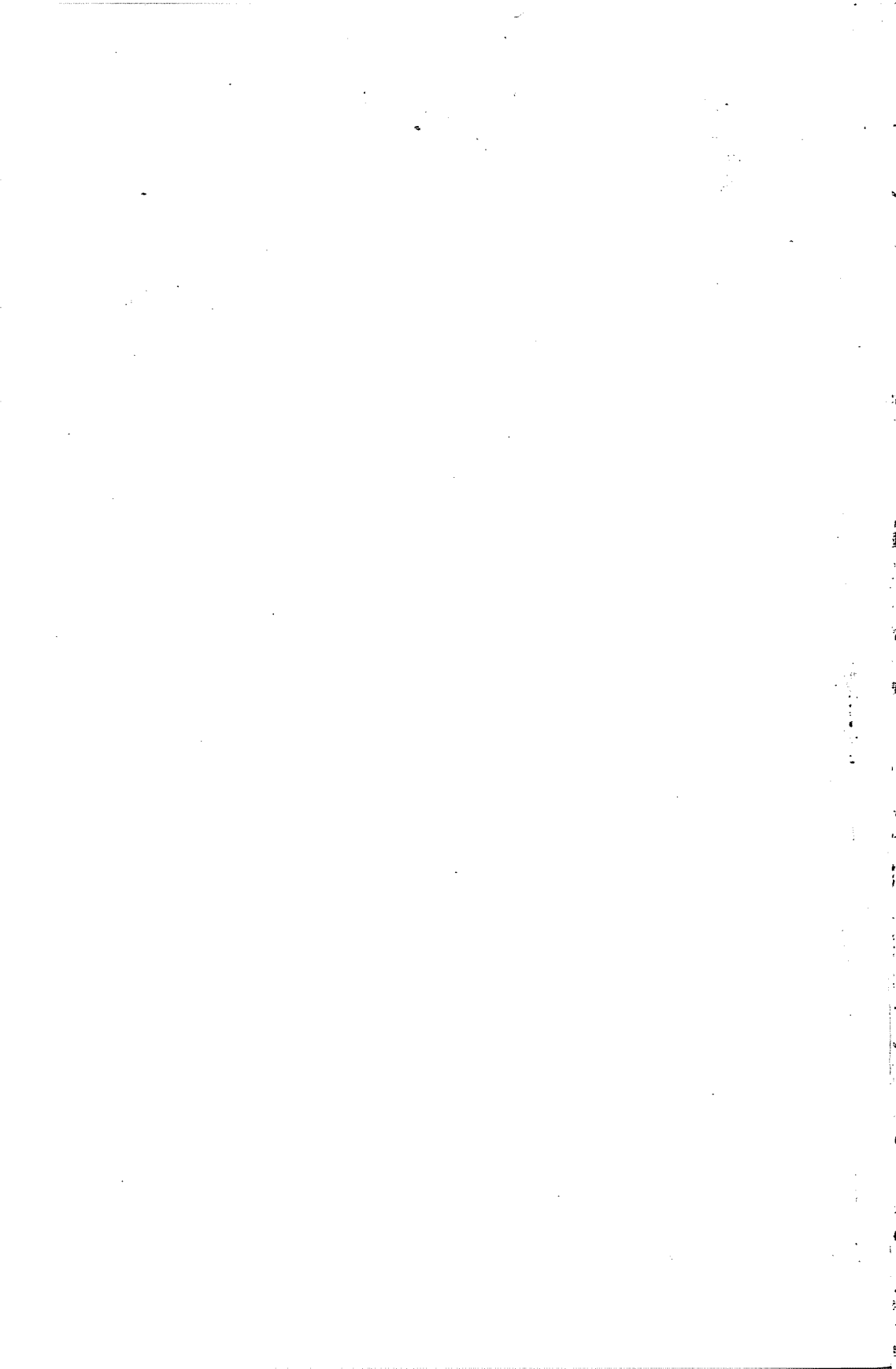
Calculation of the pressure losses of developing laminar flow in a circular pipe variable cross-section

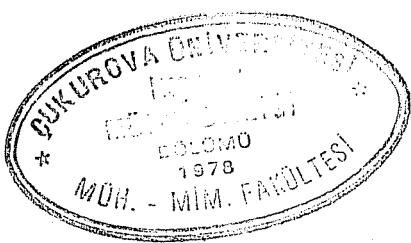
..... Tuncay YILMAZ, Kadir AYDIN 41

Düzlemede bir koordinat ayar mekanizmasının tasarım ve incelenmesi

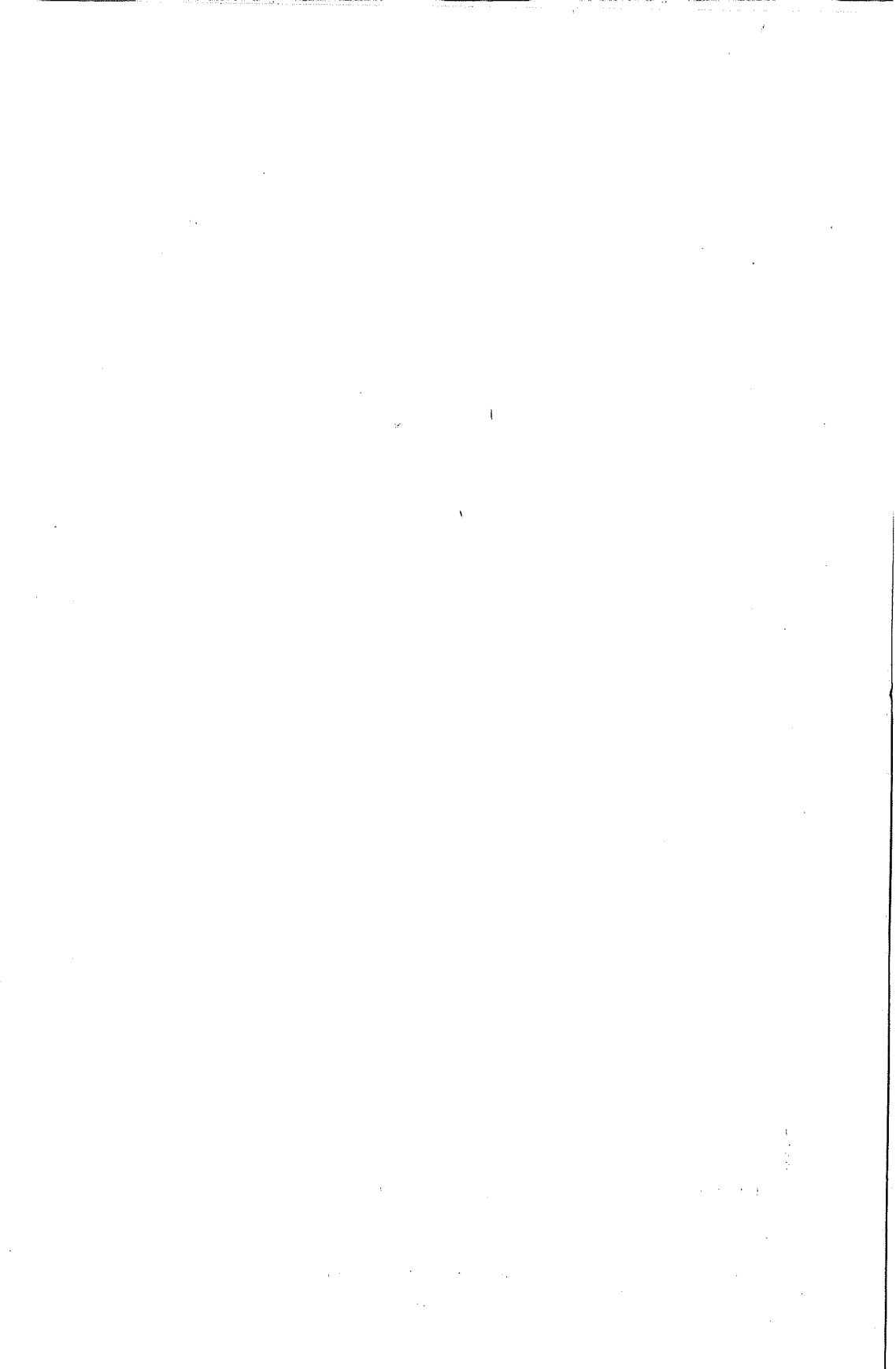
Design and analysis of a planar mechanism to work within a specified region

..... İ.Deniz AKÇALI, Hüseyin MUTLU 53





ÇUKUROVA ÜNİVERSİTESİ BASIMEVİ
ADANA



ÇUKUROVA ÜNİVERSİTESİ
MÜHENDİSLİK-MİMARLIK FAKÜLTESİ
DERGİSİ



ÇUKUROVA UNIVERSITY
JOURNAL OF THE FACULTY OF
ENGINEERING AND ARCHITECTURE

CİLT 3
VOL

SAYI 1
NO

ARALIK 1988
DECEMBER

İÇİNDEKİLER
(CONTENTS)

Erdemli bölgesinde jeomorfolojik gözlemler Geomorphological observations of the Erdemli region	Ahmet ACAR	5
U, Cu ve F aramalarında sıvı kapanım verileri Fluid inclusions and their application in some mineral prospection	Servet YAMAN	19
Yaz klimasında ısı kazancının teorik nümerik hesaplanması A numerical algorithm for computation of heat gain in summer time air conditioning	Tuncay YILMAZ, R.Tuğrul OĞULATA	27
Laminer gelişen akışta çeşitli kesit alanlı borularda basınç kaybının hesaplanması Calculation of the pressure losses of developing laminar flow in a circular pipe variable cross-section	Tuncay YILMAZ, Kadir AYDIN	41
Düzlemdede bir koordinat ayar mekanizmasının tasarım ve incelenmesi Design and analysis of a planar mechanism to work within a specified region	Deniz AKÇALI, Hüseyin MUTLU	53

ÇUKUROVA ÜNİVERSİTESİ
MÜHENDİSLİK -MİMARLIK-FAKÜLTESİ
DERGİSİ

Sahibi : Prof. Dr. Tuncay YILMAZ
Ç.Ü. Müh. Mim. Fak. Dekanı

Editör : Prof. Dr. Erhan KİRAL

Yardımcı Doç. Dr. Cengiz DÜNDAR
Editörler : Y.Doç.Dr. Fikret İŞLER

Yayın Prof Dr. Erhan KİRAL
Kurulu : Doç. Dr. Aygen YÜCEL
Doç. Dr. Hamit SERBEST
Doç. Dr. Cengiz DÜNDAR
Y.Doç.Dr. Fikret İŞLER

Y a z i ş m a A d r e s i

Ç.Ü. Mühendislik-Mimarlık-Fakültesi

Dergi Yayın Kurulu Başkanlığı

P.K. 198 Balcalı/ADANA

ERDEMLİ BÖLGESİNDEN GEOMORFOLOJİK GÖZLEMLER

Ahmet ACAR^X

ÖZET

İnceleme alanı Akdeniz sahil şeridi üzerinde yer almaktır olup, bu çalışma bölgenin jeomorfolojik gözlem ve 1/25.000 Ölçekli jeomorfolojik haritasını kapsamaktadır. Bölge Türkiye'nin tektonik ünitesinde Toridlere dahildir [5, 8].

Jeolojik yapısı, Paleozoik, Mesozoik, Tersiyer ve Kuvaterner yaşılı birimler oluşturmaktadır.

Bölge Morfolojisi deniz seviyesinden kuzeybatıya doğru 860 metre yükseklik gösteren Alt ve Orta Miosen kireçtaşları ile temsil edilir.

GEOMORPHOLOGICAL OBSERVATIONS OF THE ERDEMLİ REGION

ABSTRACT

The study area is placed of the Mediterranean shore line, and the scope of this study includes the geomorphological observation and the geomorphological map with the scale of 1/25.000. The Taurid belt, which belongs to Turkey Tectonic unit comprises the region.

The geology is composed of Paleozoic, Mesozoic, Tertiary and Quaternary aged units.

The morphology of the region which has 860 meters elevation from the sea level in the direction of Northwest, is represented by the Lower and Middle Miocene aged limestone.

(X): Ç.Ü.Müh.Mim.Fak. Jeoloji Müh.Böl., Balcalı-ADANA

1. GİRİŞ

Akdeniz kıyı sahası olan yer, bundan sonra devam edecek olan çalışmalarımızın ilk bölümünü teşkil eder.

1/25.000 ölçekli Silifke 0-32-c₄ ve 0-32-d₃ paftalarını içermekte olup, Adana'nın 100, Mersin'inde 35 kilometre güney batısında bulunmaktadır.

2. AMAÇ

Halihazır morfolojinin incelenerek, bunun yerleşme, nüfusun artması, tarım ve ekonomik duruma etkisi ile, turizm potansiyeli bakımından değerlendirilmesidir.

3. JEOLOJİ

Yapıda temelden itibaren Paleozoik, Mesozoik, Tersiyer ve Kuaterner oluşuklar mevcuttur. Ancak bu gün görülen morfolojide Tersiyer ve Kuaterner hakim durumdadır.

Bölgemin kuzey-kuzeybatısındaki dağlık alan Alt Miosen, güneşe inildikçe dalgalı arazi Orta Miosen kalkerleri ile, denize yakın alçak alanlarda Kuaterner dolguları ile kaplıdır [2, 3, 10].

Alt ve Orta Miosen temel üzerine transgresivdir [7]. Şöyledi

Burdigalien'de jura, Kretase yaşı olaan bol çatlaklı kristalen kireçtaşı olaan temel üzerine transgresyon vuku bulmuştur. Bu transgresyon serisini Sür'ün yazdığını göre [2], Blumenthal tümüyle kalker, Ternek [10-11] ise konglomera, kumtaşısı-kalker, marn ve kalker tekrarlanmasından ibaret olup, bu kalkerlerde Pekten, Ostrea, Clypeaster, Echimolampas gibi makro, Globigerina, Miliolidae gibi de mikro fosiller bulunmuştur.

Burdigaliyen sonundaki regresyonu tekrar helvesi-
yen transgresyonu takip etmiştir. Bu transgresyonla de-
niz, radyolarit, diyabaz, serpentin çakıllar içeren kal-
ker çimentolu konglomera ile başlayan gre-marn, açık ve
krem renkli kalkerden ibaret seri tortulanmıştır.

Bu pteropod'lu marn ve kalkerler, Orta Miosen de-
nizinin sıçlaşma ve tekrar derinleşme gibi özellik göster-
diğine işaret etmektedirler.

Alp orojenezinin Miosen sonunda vuku bulan Attik
safhası ile kuzeydoğu-güneybatı istikametinde hafif kıv-
rımlar gösteren Miosen serisi içinde çok yerde yataya
yakın özellik gösteren kalkerlerde eğim $3-5^{\circ}$ civarında-
ve güneye yönelikdir [6,7] .

Kuaterner, kaliş ve alüvyon dolgudan ibarettir.

a- Kaliş, Miosen arazi üzerinde toplanan ve alta
sızan kireçli suların kurak mevsimlerde buharlaşarak yü-
zeyde kireçli maddelerin tortulanması ve bu oluş sırasın-
da da çevredekiler bulunan çakıl, kum parçalarını da içine
aldığı şeklinde meydana geldiği kabul edilmektedir [4].

Burada 35 metreye kadar kalınlıktaki kaba yapılı
bu kaliş oluşğunun yüzeydeki şekli tektonikle ilgili ol-
mayıp üzerini kapladığı alt tabakaya uygun olarak çökel-
mesinin bir sonucudur.

Adana şehri kuzeyinden dar şerit halinde devam e-
de gelen bu oluşuk Erdemli kasabası batısındaki Kuyube-
len ve Sazbaşı arasındaki alanda görülmektedir [4].

b- Alüvyon dolgu, kalker kontağı ile deniz arasın-
da görülür.

Yağış ve akarsuların, karasal şartların meydana
getirdikleri ve getirmekte oldukları yarılmalar, aşıntı
yüzeyleri, taraçalar, yamaç şekilleri, kum, çakıl dəpoları
ve alüvyon denilen ve bölge sakinlerinin tarım alan-
ları olan çakıl, kum, kıl, mil, silt gibi bağıntısız

eleman topluluğudur.

4. MORFOLOJİ

Sahili şeridinden içeriye yani güney doğudan kuzey-batıya doğru belirgin şekilde tatlı bir yükselme gösteren morfoloji birimleri:

1. Yüksek alanlar

- a- Dağlık alan üzerindeki zirveler
- b- Dalgalı arazi

2. Alçak alanlar

- a- Geçiş alanı (seki)
- b- Alüvyon birikinti konisi
- c- Vadiler
- d- Taban arazi (Alüvyon)
- e- Kıyı kumul bölgesi

4.1.a. Zirveler

Bölgelinin kuzeybatı bölümü belirgin bir yükselti gösterir. Ormanlık olan bu yükselti üzerinde iklim ve petrografik özelliğe dayanılarak meydana gelmiş en belirgin zirveler kuzeyden güneye doğru, Boyunyurt tepe (402 m.), Deveci çökeğitepe (417 m.), Gögebakan tepe (428 m.), Direkli sarnıcı tepe (567 m.), Kalankaya tepe (570 m.) Cücüller kalesi tepesi (574 m.), Araca tepe (653 m.), Tepedibi tepe (824 m.), Cevizli tepe (850 m.), Sandaltepe (860 m.) Karadağ (704 m.), Sağır tepe (750 m.) ve Karabayat tepe (610 m.)'dır.

Görüleceği üzere Akdenizin karakteristik bitki örtüsüne sahip bu zirveler güneye doğru basamaklı bir yükselti özelliğine sahiptirler. Koni şekilleri gösterdikleri gibi güney ve güney doğuya uzanan sırtların apeks yerleri olarakta görülürler. Her yöne akış veren zirve yamaçları ormanlık sebebi ile fazla varıntı gösteremeyen ve tatlı eğimlerle yüksek alan yüzeyi ile birleşirler.

4.1.b. Dalgalı Arazi

Yüksek alanın doğuya devamıdır ve belirgin bir şekilde dağlık alandan yükselti görünümü ile ayrılır. Alçak ve yüksek sırtlardan ibaret olup bu sırtların yönü güney ve güney doğuyadır. Sırtların hakim olduğu bu bölümdeki yükseltiler ise kuzyeden güneye doğru.

Kocakonus tepe (121 m.), Kalkık tepe (333 m.) Üçtepe (333 m.), Kerimintepe (342 m.), Boynuztepe (69 m.), Körüklü tepe (212 m.), Tepecik (366 m.) ve Germetəş tepe (454 m.) olarak görülürler.

4.2. Alçak Alanlar

4.2.a. Geçiş Alanı (seki)

Sahanın güney ve güney doğu ucunda, kuzeydoğu-güneybatı yönde dalgalı arazi ile birikinti konisi ve taban arazi arasında geçiş teşkil eden sahadır. Taban arazisine az eğimli yamaçla birleşir. Bu yamaç üzerleri tamamen yerleşim sahası olarak gelişmiştir. Kuaterner başında gelişen bu Orta Miosen aşının yüzeyi ve yamacındaki yerleşim bölgeleri kuzyeden güneye doğru başlıca Yarağeleni, Pirahmet, Kordikenli, Sazbaşı, Gerdoğdu, Kumkuyu, Çanakçı, Çaltılı, Kızılören, Çukur ve Kızılıbağ mahalleleri adı ile Erdemli Belediyesinin birer üniteleridir. Topografik haritada çok isimlerin olmadığı, harita yapımından sonra yerleşme ünitelerinin geliştiği düşünülerek morfoloji haritasına bu arazi şekli işaretlenmedi.

Bölge sakinleri, tarım arazisinin çok az oluşu nedeni ile seki özelliğini taşıyan bu geçiş alanında, kalker yüzeylerine işliyerek tarım sekileri haline getirip narenciye, sebze yetiştirmektedirler (seracılık ön planda gelir). Böylece geçimlerini sağladıkları gibi Ekonomiye olağanüstü gayretle katkıda bulunmaktadırlar.

4.2.b. Alüvyon birikinti konisi.

Esas Alata ile Kargı, Sorgun dereeleri ve bunların yanında kuzeyden inen mevsimlik derelerin taşıdığı materyalle açılımı 6 kilometre olan birikinti konisi meydana gelmiştir. Köşeli, yuvarlak, blok, çakıl, kum, kıl, müsil ve organik bakiyeler ihtiva eden bağlantısız ve tasnifsız bir materyal dolgusuudur. Üzerinde yer yer yarıntı sırt, çukurluk ve düzlükler ihtiva éder.

Erdemli kaza merkezi ile Eskiköy, Yüksek mahalle, Çetrez mahallesi, Alata mahallesi, Şabanlar ve Taşa ya mahalleleri bu koni üzerinde kurulmuş yerleşim üniteleridir. Toprağı değerlendiren bölge halkı limonluk, portakal, mandalina, yeni dünya, hurma ve sebze bahçeleri ve seracılıkla uğraşlarını sürdürürler.

4.2.c. Vadiler

Sahamızda bütünü ile yarıntılar, dereler ve vadiler önem kazanır. durumdaki gelişme Miosen sonu Pliosen'de kara haline geçen sahadə Alpin son safhası ve buna paralel epirojenik olayların sonunda kara üzerinde oluşan yükseklik, alçaklık, yarıntı ve çatlıklar dış etkenlerin aşındırma ve süpürme etkisi altına girerek bugünkü derin vadilerin oluşumuna başlangıç teşkil etmiştir.

Bütünü ile arazide konsekan, süksekan, obsekan, resekan, insekan, senkinal vadilerin teşekkülü görülmekte beraber, hakim olan şekiller konsekan, süksekan, olup, bilhassa konsekan vadiler kanyon özelliğinde gelişmiş olarak Limonluk ve kuzey-kuzeybatı kesimde Lamas'ın Cüclüler kalesi dağlık alanında Mergin, uzunyurt ve Köşkerli derelerinde görülür. Alt ve Orta Miosen kalkerleri istikametine dik olarak yarılmış dik yamaçlı, dar tabanlı, hatta tabansız derin vadiler olarak görülür. Yamaç meyli azalan tabanlarda kum sekileri görmek mümkün olup, bu durum Mergin ve Uzunyurt vadilerinde ve dar sahalar ola-

rak görülmektedir.

4.2.d. Taban arazi (Alüvyon)

Bölgedeki en genç oluşuk çakıl, kum, kıl, mil, silt gibi bağlantısız elemanlar topluluğudur. Yamaçların sona erdiği (kalker kontağı) ve vadilerin genişleyen ağız bölgülerinden geçen hatla kıyı kumul bölgesi arasında yer yer düz, az derin çukurluk ve ondülle şeklindeki genç dolgu olup 50-150 m. kalınlık gösterir. Birçok yerlerinde küçük su toplulukları okalıptüs ve benzeri ağaçlar geliştirilerek kurutulmuş tarım ve yerleşim alanı olarak hizmete sunulmuştur.

Halen kuzeyden gelen, Alata, Kargıcak, Lamas, daimi akan Çaylar ile Kodan, Kuruçay, Madenin dere, Koperin dere v.s. gibi mevsimlik akarsular taşıdıkları materyaller ile bu genç dolguyu devamlı desteklemektedirler.

Lamas vadisinin son bulduğu ve Limonluk sahası adı ile anılan mümbit dolgu en güzel örnektir. Erdemli'ye doğru yer yer dar ve geniş alanlar ve Erdemli bataklığı bu gün verimli sebze, meyve bahçeleri ve hatta yerleşim alanları olarak görülmektedir. Bu gün bu genç ve mümbit dolgu bölgenin ekonomik gelişmesine çok etkendir.

4.2.e. Kıyı kumul bölgesi

Bu kesim 300 metre civarında bir genişlik olarak başlıca, muhtelif koy, çakıl, kalın ve ince kum karışımı olup, genelde iç bölge ile sınırını E-24 kara yolu teşkil eder. Yol ile kumul arasında koy şekli ve gölcükler görülmektedir. Bu kesim bölge ekonomisine turizm açısından çok etkendir.

Ancak turist denilen yerli-yabancı misafirlerin modern dünya standartlarına göre, bu güzel beldemizde henüz tatillerini geçiremediklerini görüyor, gerekli modern te-

sisler ve yetişecek bilgili elemanların sunacağı hizmetlerle kısa gelecekte en güzel olanaklara kavuşacağı ve böylece gelirimizinde artacağı inancını taşıyoruz.

5. PALEOCOĞRAFYA

Bölgede temeli teşkil eden Paleozoyik ve Mesozoik (Bilhassa Kretase) üzerine Akdenizin kuzeydoğuya uzanan suları transgresiv seri olarak kalkeri tortulamıştır (Burdigalien) [2] , [11].

Burdigalien sonda regresyonu Orta Miosen (Hellestien) transgresyonu takip etmiş, deniz konglomera ile başlıyan kumtaşı, marn, krem renkli kalker serisini tortulamıştır.

Miosen sonundaki, Alp orojenezinin attik safhası ve bunu takip eden Pliosen sonundaki Wallachian safhaları ve bunlara destek olan epirogenik olaylarında tesiri ile kara halini bütünü ile kazanan bölge, Pleistosen'de dış etkenlerin tesiri ile aşınan topografya bu gürkültü görünümünü kazanmıştır.

6. İKLİM

Bölge Akdeniz iklimi içerisindeindedir. Yazlar sıcak, kışlar ılık ve yağışlıdır ve yağışlar genelde ilk bahar ve son bahardadır. Yıllık yağış ortalaması 600 mm. sıcaklık ise 20°C civarındadır.

Karstik özellik, ormanlık sahalara düşen yağışlar, yeraltı suyu (kuyu yatağı) tabaka, çatlak ve fay pınarlarını beslediği halde, az yer kaplıyan çiplak yüzeylerde bu özellik görülmez dolayısı ile yüzeye düşen normal yağış veya sağnaklar, buharlaşma ve kalker çatlak yarıklarından alta sizarak Akdenize ulaşır. Kalkerlerde faylı durumda önem taşır, suyun derinlere gitmesi veya pınarlar

şeklinde çıkışmasını sağlar [9, 4].

7. ULAŞIM VE YERLEŞİM

Akdeniz kıyı şeridi üzerinde olan bölgemiz E-34 karayolu vasıtası ile en güzel ulaşımı sahiptir. İçerdeki yerleşim alanları asfalt yollarla bu ana yola bağlıdır. Genelde narenciye ile uğraşan bölge sakinleri yerleşim yeri olarak ana yola ve sahile yakın alanlar seçmiş olup, buralar Alüyon (ova tabanı), seki üzerleri ve yamaçlar ve birikinti koni üzeridirki, buna Erdemli kasabası, güzel örnektir. Hayvancılıkla uğraşanlar ise içlererde dalgalı ve ve dağlık alanları tercih etmişlerdir.

8. SONUÇLAR

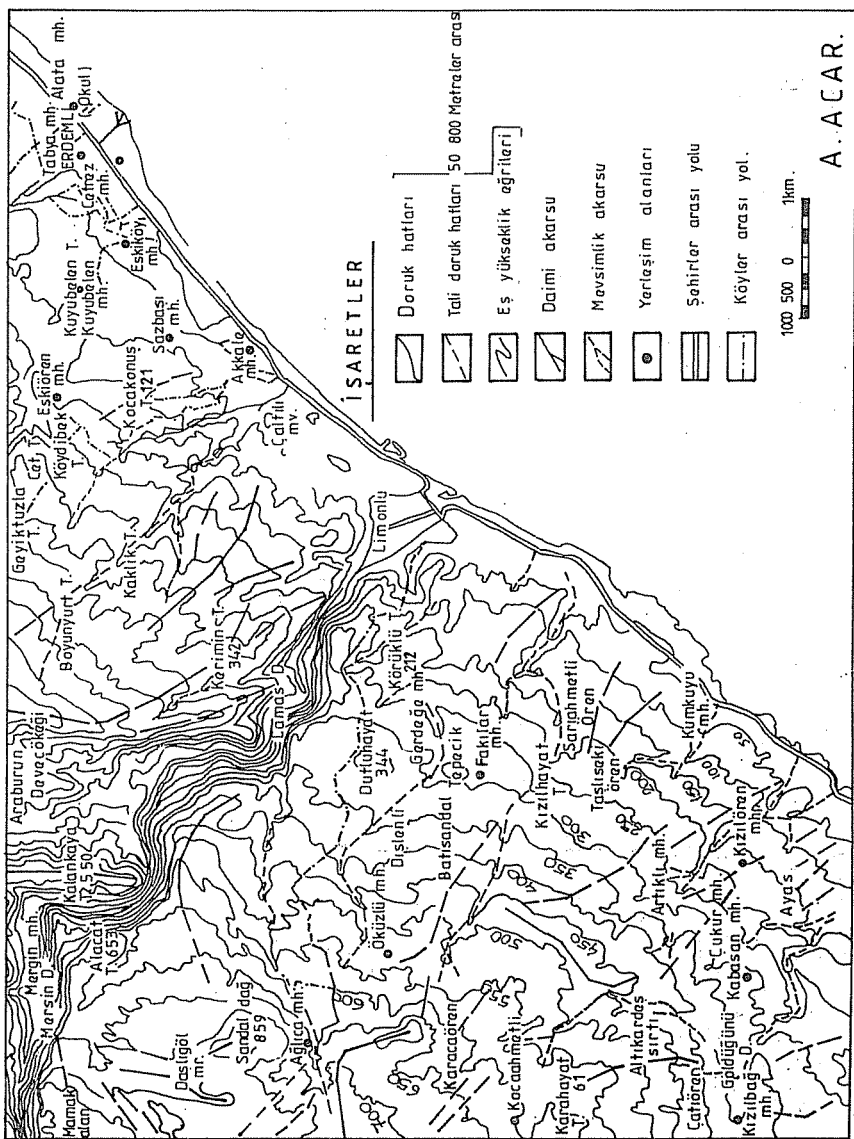
8.1. Gözlem Sahamız

1. Türkiye tektonik birliğinde toridlere dahildir.
2. Görülen morfoloji Alt ve Orta Miosen kalkerleri ile teşkil edilir.
3. Pleistosen başından tamamen kara özelliğini kazanan bölge dış etkenlerle aşınarak bu günkü görünüşü kazanmıştır.
4. Jeolojik bünyesi pek sağlam olmadığından üçüncü derece deprem sahası içersindedir.
5. Bölgede narenciye önemlidir. Tarım arazisinin az oluşu kalker sekiler üzerinde seráların yapılmasını zorunlu kılmaktadır.
6. Bölge turizmi istenilen yüzeyde olmamakla beraber, çok güzel coğrafi ve morfolojik şartlara ve iklimе sahip olmasından hızla gelişme göstermektedir.

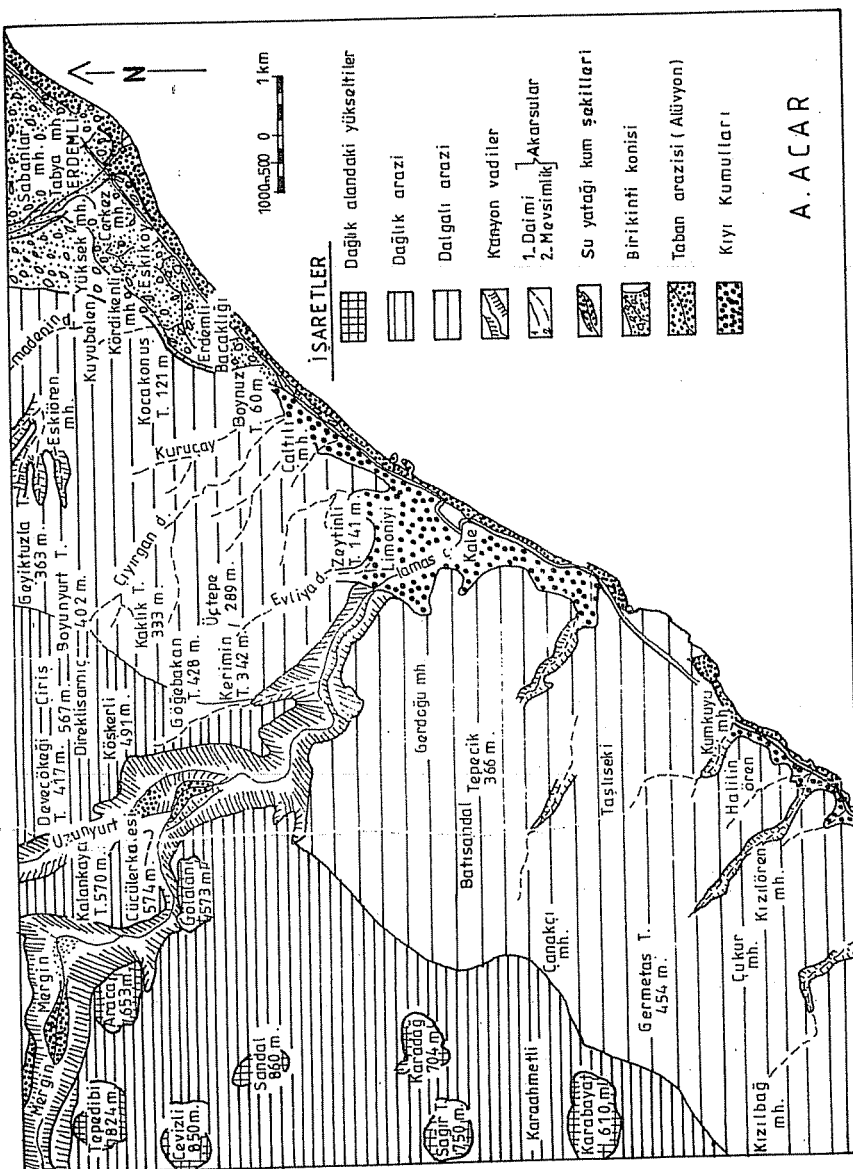
KAYNAKLAR

- [1] A. Acar, Adana bölgesinde jeomorfolojik gözlemler. Adana (1986).
- [2.] A.Sür, Tarsus ve kuzeybatısında fiziki coğrafya araştırmaları. Ankara (1967).
- [3] C.Erentöz, Türkiye jeolojisi üzerine genel bir bakış M.T.A. Derg. Ankara (1856).
- [4] G.Günay, İçel-Erdemli kaynakları Hidrojeoloji incelemesi, Ankara (1974).
- [5] İ.Ketin, Türkiyenin orojenik gelişmesi, M.T.A.Derg. 53, Ankara (1959).
- [6] N.Nayvuz, İçel-Gilindire ovaları hidrojeolojik etüd raporu, Ankara (1978).
- [7] N.Yavuz, C. Yordem, Lamas III Tuneli isale kanalları planlaması, Müh.Jeolojisi raporu, Ankara (1985).
- [8] N.Egeran, E.Lahn, Türkiye Jeolojisi, Ankara (1948).
- [9] T.Gani, Mersin-Bardan ve Efrenk ovaları Hidrojeolojik Etüd raporu, Ankara (1978).
- [10] Z.Ternék, Mersin-Tersüs kuzey bölgesinin jeolojisi, Ankara (1953).
- [11] Z.Ternek, Adana baseni Alt Miosen (Burdigalien) formasyonları ve diğer formasyonlarla ilişkisi ve petrol olanakları, M.T.A Bült. Ankara (1957).

Erdemli bölgesinde jeomorfolojik gözlemler



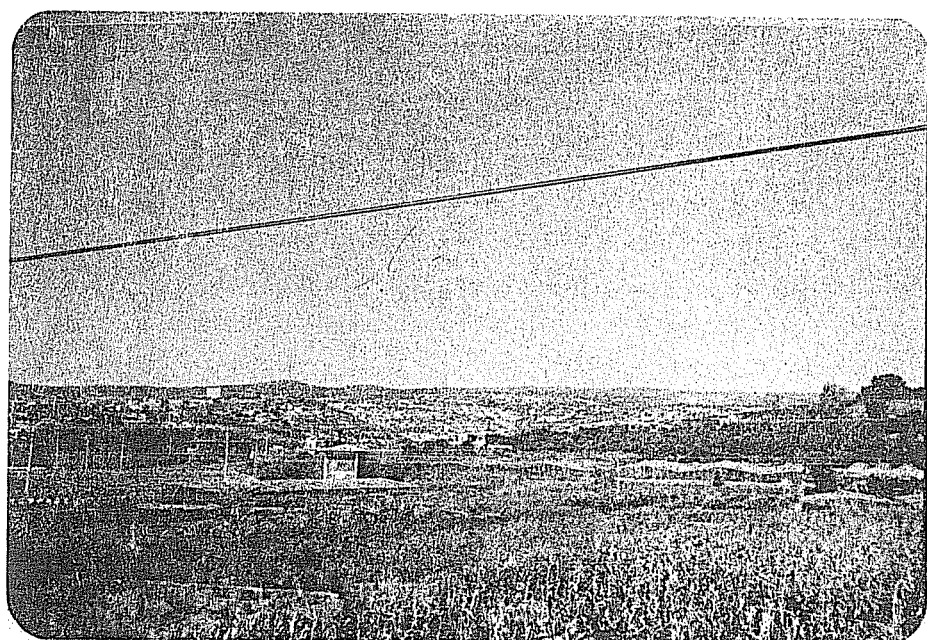
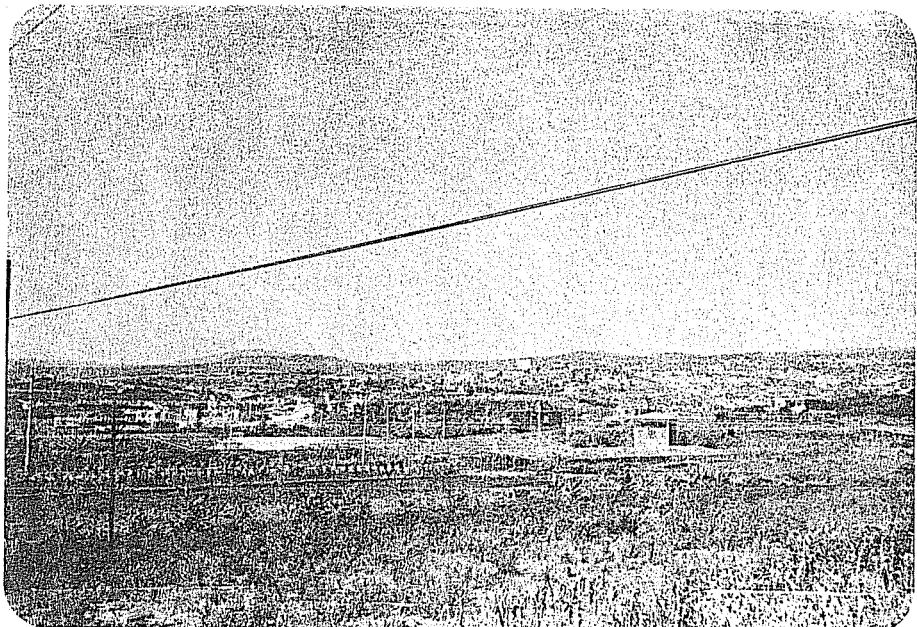
AGAR



Sekil 2 : Erdemli ve Batısinin Jeomorfoloji Haritasi

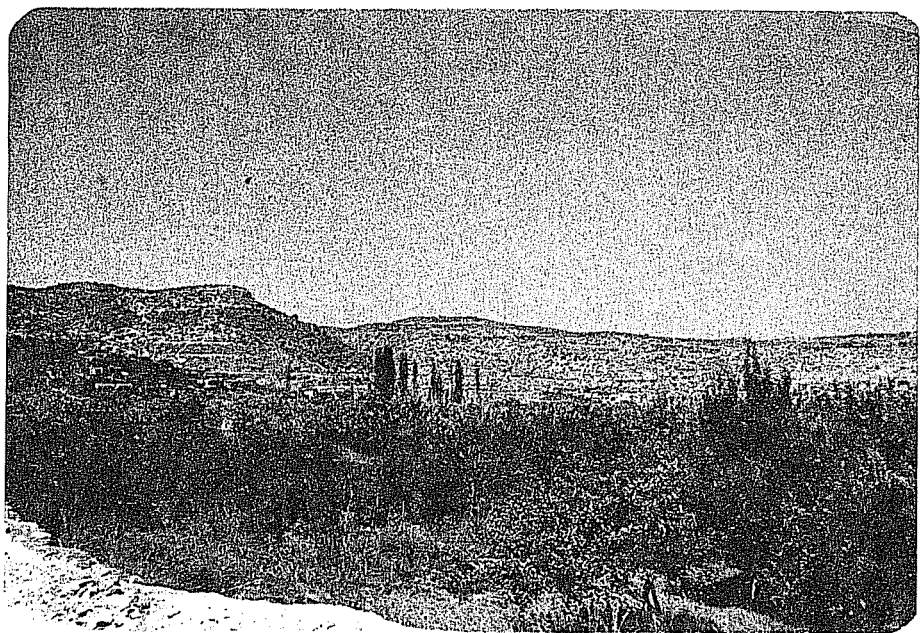
Erdemli bölgesinde jeomorfolojik gözlemler

Şekil: 3

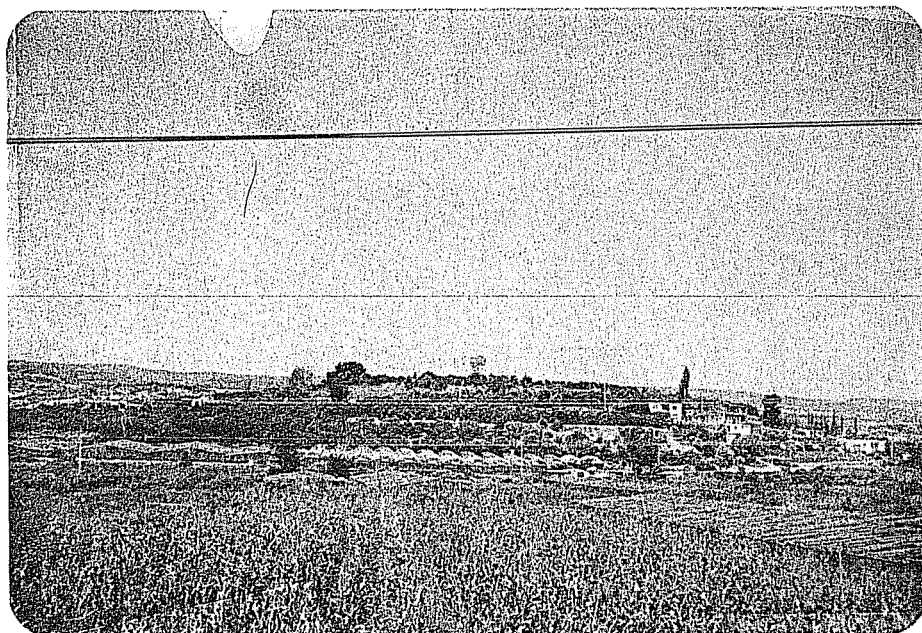


Şekil: 4

**Şekil:3 ve 4, Ovatabanı, Pirahmet sekileri
Yerleşim ve Dalgalı arazi (F.A.Acar)**



Şekil: 5 Lamas vadisi ve Limonluk, (F.A.Acar)



Şekil: 6. Ova tabanı, Erdemli sekisi ve dalgalı arazi (F.A.Acar)

U,Cu ve F ARAMALARINDA SIVI KAPANIM VERİLERİ

Servet YAMAN X

ÖZET

Mineraller içerisinde sıkça gözlenen sıvı kapanımlar mineralleşme ortamını yansıtan fosilleşmiş örnekler olarak kabul edilirler. Bunların incelenmesi arayıcı için pratik bilgiler verir. Uygulama ile ilgili örnekler bazı Porfiri bakır, Uranium ve Fluorit yatakları için verilmiştir. Bu yatakların oluşum koşulları termometrik, barometrik ve kimyasal açıdan yorumlanmıştır.

FLUID INCLUSIONS and THEIR APPLICATION IN SOME MINERAL PROSPECTION

ABSTRACT

Oftenly seen in minerals, fluid inclusions considered as the fossilized samples belonging to mineralization environment. Their study gives practical data for the prospectors. Some application examples are given on porphyry copper, Uranium and Fluorite deposits. Conditions of the formation of these deposits are discussed in point of thermometry, barometry and chemistry.

1. GİRİŞ

Sıvı kapanımlar kristal yüzeylerinin büyümesi sırasında gelişen düzensizlikler veya tektonik hareketler sonucu ortaya çıkan kırıkların kristalin kendince onarılmasıyla oluşurlar. Bu arada meydana gelen kristal içi boşlukların kristalin içerisinde bulunduğu ortamı yansıtan sıvılarla dolu olacağı kabul edilmektedir. Yapay kuvars kristalleri üzerinde yapılan deneylerde bu varsayımlının doğruluğu geçerli kılınmıştır [1].

(X) Ç.Ü. Müh-Mim. Fak, Jeoloji Müh. Böl, Balcalı-ADANA

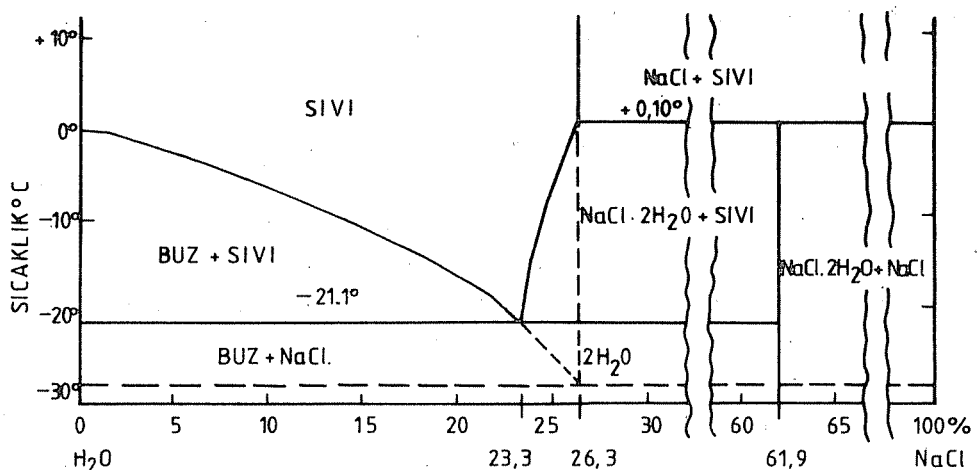
Sıvı kapanımlar maden yataklarının kökenini açıklamada yardımcı olurlar. Bu medenle maden aramalarında da rehber olabileceğि düşünülmelidir. Özellikle hidrotermal yatakların sıvı hareketleri neticesindeoluştugu kabul edilirse, kristal içerisindeki kalıntı sıvıların incelemesi yatakların kökenini ve burada hüküm süren şartları açıklayan bilgileri verecektir. Bu bilgiler mineralleşme ortamı hakkında iki açıdan önemlidir. Birincisi; maden yatağının içerisinde olduğu genel jeolojik ortamı açıklar. Nitekim karasal ve denizel çökeller bu şekilde ayırtlanabilmektedir. İkinci ise mineralin içerisinde olduğu eriyiklerin fiziko-kimyasal koşullarını belirler. Bu koşullar tuzluluk, sıcaklık, Eh, PH gibi değerlerdir.

Sıvı kapanımların diğer bir kullanım alanı da dekrepitometrik yanı "ısıtarak çitirdatma" tayinlerinde kullanılmasıdır [2]. Yöntem kapanımların ısıtılıarak patlatılması ve bir çitirttı şeklinde duyulan bu seslerin yoğunluklarına göre "çitirdatma ritimlerini" tayin etmektedir. Ancak bu teknik fizikokimyasal yorumlarda kullanılamaz. Prospektörler bu yöntemi bazı amaçlar için kullanabilirler ve bu durumda mükemmel rehber oluşturabilirler. Örneğin steril bir filon ile mineralleşmiş bir filon arasında çitirdama ritmi arasında bir farklılık varsa bu ekonomik mineralleşmeye ulaşmak için iyi bir rehber olarak kullanılabilir. Mikroskop altında yapılan incelemeler kapanımların yapılıları, dağılımları ve içerikleri hakkında bilgi verir ancak kimyasal yapıları tayin için aynı gözlemlere ilave olarak mikrotermometrik ve krioskopik yöntemler kullanılır. Son zamanlarda ileri aletsel analiz teknikleri kullanılmaktadır [3].

Prospeksiyon çalışmalarında arayıcılar için kullanılabilir veriler şu şekilde özetlenebilir.

- a- Yoğunluk ve Tuzluluk; değerler formasyonun sıcaklık ve basınç koşullarına bağlı olarak değişebilir (şekil 1). Toplam tuzluluk değerleri ile bunların kimyasal içerikleri minerallerin kökeni hakkında kesin bulgular verir. Örneğin (K/Na) oranları alterasyonların yüzeysel veya hidrotermal olabileceğini gösterir.

Sıvı kapanım verileri



Şekil 1. Sıvı kapanımlarda $\text{NaCl}-\text{H}_2\text{O}$ sistemi (9)

b- CO_2 ve diğer gazların varlığı; Bu bulgular depolanma ortamındaki basınç koşulları hakkında önemli ipuçları verir. Hatta bunların homojen veya heterojen olabilecek dağılım şekilleri bir ayırmalama veya bir kaynama olayını açıklayabilir.

Mineralleştirici sıvılardan mineral oluşturma süreci ve aşamaları, açıklanması çok zor olan problemlerdir. Örneğin amfibolit fasiyesinde metamorfizmeye uğramış sedimanter bir istif sedimentasyon aşamasındaki sıvıları artık bünyesinde bulundurmayaacaktır. Böyle bir formasyonun mineralleşme içermesi halinde bu malzemenin tuzaklanma koşullarını bulmasıyla mümkün olamayacaktır. Ancak bu tür zorluklara rağmen sıvı kapanım verileri mineralleşmeyi sinematik olarak bölgesel tarihçe içerisinde belirlemeye en çok kullanılan yöntemdir.

Sıvı kapanım yöntemleri kullanılarak yapılan maden aramalarına örnek olarak Porfiri bakır, Uranyum ve Fluorit yatakları üzerindeki bulguların verilmesi bu çalışmanın amacını oluşturur.

2. UYGULAMA ÖRNEKLERİ

Dünyada mineral yatakları üzerinde yapılan çok sayıda sıvı kapanım araştırmaları arasında en somut bulgularıyla Uranyum Porfiri Bakır

ve Fluorit yataklarının aranmasına katkıda bulunan çalışmalar dikkati çeker.

2.1. Uranyum Yatakları

Granitlere bağlı olarak çalışan Uranyum damarlarının köken sorunu yerbilimciler için ilginç araştırma konusu olmuştur. İleri sürülen köken yorumları arasında bu yatakların uranyumca zengin granitlerin alterasyonu sonucu oluştuğu ileri sürülmüştür [4]. Bu modele göre U'ca zengin granitlerin yüzey alterasyonu ile birlikte hareketlenen uranyum aşağılara çatlıklar boyunca indikleri ve kırık hatlarına uyumlu damarla oluşturdukları belirtilmiştir.

Bazı araştırmacılar aynı yataklar için hidrotermal model ileri sürmüştür [5]. Fransa, Limosin kapanım çalışmaları [6]. Mineralleşme menin birçok aşamada hidrotermal koşullarda oluşduğu ortaya koymuştur (Şekil 2).

Sıvı kapanım verileri peşblend ve uranimit oluşumunda CO_2 nin önemli rol oynadığını göstermektedir. CO_2 uranyum taşımásında önemli bir etkendir. Zira UCO_3 zonlarının CO_2 'ce zengin eriyiklerde mobilitesi artmakta ve depolanma CO_2 kısmı basıncının düşmesine bağlı olarak gelişmektedir. Bu modelin altı aşamada geliştiği sıvı kapanım verileince belirlenmiştir. Her aşama tam olarak veya kısmen bir önceki evreden kaynaklanan uranyum konsantrasyonları içerir. Buna göre mineralleşme bir tek kökene bağlamak yerine birbirini takip eden olaylar zinciri sonucuoluştugu kabul edilebilir. Diğer bir örnek Cluff Lake (Kanada) uranyum yataklarından verilebilir. Bu yataklar Tazin plutonik masifin içerisinde bulunur. Masif transgresif gresenleriyle örtülüdür. Mineralleşme volkanik veya meteorik bir çukur olarak yorumlanan dönsal bir yapı çevresine yerleşmiştir. Sıvı kapanım verileri [7] ile volkanik veya meteorit çukuru kökeninden ziyade kalınlığı 5000 m'yi bulan örtü tabakalarının diayenezi sırasında uranyumun ekonomik konstantrasyonlara ulaştığı belirlenmiştir.

Bu bulgular bu tip yatakların aranmasında rehber olabilecek niteliktedir.

Sıvı kapanımlar verileri

Mineral Ardalanma Sırası	Mineral	Sıcaklık	İçerik
1	Birincil U_2O_5	90-100°C	CO_2 : ***
2	Birincil U_2O_5 + Kırmızı Silis	300°C	H_2O : ++ CO_2 : +
3	Coffinit	300°C	H_2O : ++ CO_2 : +
4	Coffinit	200°C	H_2O : ++ CO_2 : ++
5	Remobilizasyon U_2O_5	180°C	CO_2 : ++ H_2O : ++
6	Alterasyon U_2O_5	80°C	H_2O : +++ CO_2 : +

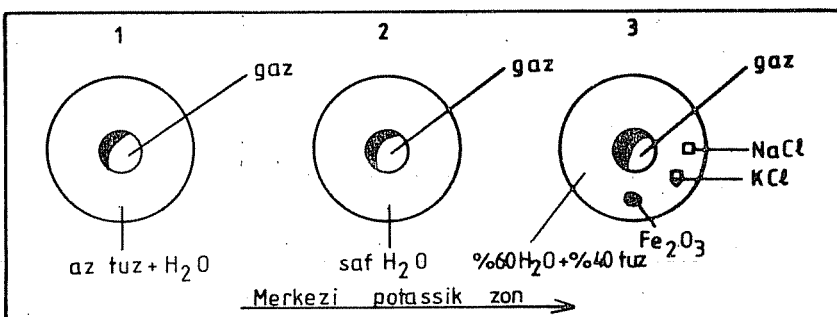
Şekil 2. Uranium filonlarında görülen kapanımlar,
homojenleşme sıcaklıklarları ve içerikleri (6)

2.2. Porfiri Bakır Yatakları

Porfiri bakır yatakları nötr bileşimli monzonitik veya dasitik, andezitik kayaçlara bağlı dissemine, düşük tenörlü Cu mineralleşme olarak tanımlanabilir. Mineralleşme değişik alterasyon zonları ile çevrilidir. Bu yataklarda kuvars kristali üzerinde yapılan araştırmalar [8] her alterasyon zonuna özgü sıvı kapanımların varlığı saptanmıştır. Dikkati çeken ve sistemamit bulgular veren sıvı kapanımlar ise Cu'ca zengin potassik ve alterasyon zonlarında saptanmıştır. Bu kapanımlar iki önemli özellik gösterir. Sıvı kapanımlar H_2O - buhar bileşiminde bir ayrılma ürünü verirler. Diğer ise $NaCl$, KCl , Fe_2O_3 katlarını içeren ve sıvı - gaz dengesi gösteren kapanımlardır. Bu gözlemler kuvarsın oluşumu sırasında mineralleştirici sıvıların kaynama noktasında olduklarını vurgular. Ayrıca kapanımların Cu içeriği mineralleşme gövdesine yakınlaştıkça artmaktadır. Ayrılmış kapanımların özellikleri Şekil 3'de verilmiştir.

Kökensel sıvıların yapısı ne olursa olsun bünyelerinde bakır içerdikleri muhakkaktır. Bakırın ayrılma sonucu sıvı fazda kalması

alt limiti %0,4 Cu'a varan konsantrasyonlarının oluşmasına neden olmaktadır. Cu'in silikat fazda çözünürlüğü yüksek düzeydeki NaCl, KCl, CaCl₂ tuzlarının varlığı ile izah edilebilir. Buhar faza kolayca geçebilen bu bileşiklerin yan kayacı da alterasyona uğratarak yüzeyden buharlaştıkları empirik bir model olarak düşünülebilir.



Şekil 3. Porfiri Cu yataklarında görülen başlıca kapanım tipleri

Bu bulgular halen Cu prospektörleri için kullanılabilir verilerdir. Ayırmayı belirleyen toplam tuzluluk değerleri arttıkça arayıcı esas mineralleşmeye yaklaşmış olacaktır.

Ne varki bu yöntem stratezik prospeksiyondan ziyade taktik prospeksiyonlarda yani küçük hedep bölgelerin tespitinde kullanılmaktadır. Bu amaçla eğitilmiş bir yerbilimci birkaç gün içerisinde hedep bölge ulaşabilmektedir.

2.3. Fluorit Yatakları

Fluorit yataklarının damar tipindeki oluşukları çeşitli sıcaklık aşamalarında oluşturukları birçok araştırmacı tarafından vurgulanmıştır [9]. Damar ve stratiform tipi yatakların en önemli ayırtman özellikleri basit sıvı kapanım incelemeleriyle görülebilir. İki fazlı ve içerisinde bir "büzülme" kabarıcı içeren kapanımlar tipik hidrotermal aktivite kanıtı olarak kabul edilirler. Tek fazlı, homojen dağılımlı kapanımlar ise sedimanter bir sürecin etkisini belirler [10]. Damar tipi fluorit oluşukları bazen sedimanter bir ortam içerisinde hidrotermal aktivite sonucu oluşabilir. Böyle bir mineralleşmeye örnek olarak Pöhrenk fluorit mineralleşmesi verilebilir [11]. Pöhrenk fluorit-

leri temelde metamorfik birimler ve bunları örten Mio-Pliosen yaşılı karbonatlı-kırıntılı sedimanter birimler içerisinde bulunurlar. Mineralleşme epijenik karakterde damar şeklinde veya karstik boşluklar içerisinde görülür. Yapılan ölçümler homojenleşme sıcaklığının birincil kapanımlarda 120° - 130°C arasında yoğunlaştığını göstermiştir. Aynı kapanımların krioskopik tayinlerde 1-18-20 NaCl eşdeğer tuzluluk içerdikleri belirlenmiştir. Bu değerlerin yansittığı koşullar sedimanter bir ortamda tipik bir hidrotermal aktiviteyi ifade etmektedir. Nitekim bölgedeki NE doğrultulu Miosen yaşılı fay hatları böyle bir aktivitenin kaynağı olarak dikkati çeker. Fluorit prospeksiyonlarında fluorlu aktivitenin kaynağını oluşturan bu fay hattı rehber niteliğindedir.

3. SONUÇLAR

Sıvı kapanım incelemeleri maden prospeksiyonlarında son yıllarda çokca kullanılan bir başvuru rehberidir. Her türlü jeolojik verilere ek olarak bölgesel jeolojik tarihçenin açıklanması bakımından önemli ipuçları verebilmektedir.

Uranyum yataklarında CO_2 dolgulu kapanımlar primer konsantrasyonların nerelerde kapanıldığını göstermesi bakımından kullanılabilir bir veridir. NaCl içeriği yüksek kapanımlar Porfiri bakır yataklarında ekonomik Cu konsantrosyonlarını belirtir. Fluorit yataklarında ise sıvı kapanım incelemeleri yatağın köken kayıtlarını ve prospeksiyon alanlarını belirlemekte kullanılabılır.

KAYNAKLAR

- |1|. G.Deicha, Les lacunes des eristaux et leurs inclusion fluides, Masson et Cie Paris, (1955)
- |2|. R.Pulou, J.Croizant et AL, Enregistreu, décrépitométrique applqué à la determination des températures de dépôt des mineraux, Bull. Suisse Miner. et Petrog, 50 (1975), 59-66.
- |3|. N.Guithaumou, P.Dhamelincourt et AL, Etude des inclusions fluides du système $\text{N}_2\text{-CO}_2$. Données de la microcrysoscopie et de l'analyse à la microsonde à effet Raman. Geochim. et Cosmochim. Act., 45, (1981), 657-673.

- |4|. J.Barbier, Continental weathering as a possible origin of Vein type uranium deposits, Mineral. Deposita, 9, (1974), 271-288.
- |5|. M.Moreau et G.Ranchin, Alteration hydrothermales et controles tectoniques dans les gîtes d'uranium, Masson, Paris (1971), 77-100.
- |6|. B.Poty, J.Leroy et AL, Les inclusions fluides dans les minerais des gisements d'uranium intragranitiques du Limousin. I.A.E.A, Vienna, (1974), 569-582.
- |7|. M.Pagel, Determination des condition pysico-chimique de la silicification diagénétique des grés Athabasca C.R. Acad. Sc., 280, (1975), 2301-2304.
- |8|. J.Drake, A study of are forming fluids at the porhyry copper deposit, of Kingman, Arizona, Ph.D thesis, Columbia University (1972).
- |9|. S.Yaman, CO_2 dolgulu kapanım grupları üzerinde jeokimyasal araştırmalar. Ç.Ü. Fen-Ed. Fak. yıllıkı 1, (1982), 25-32.
- |10|. S.Yaman, Pöhrenk (Kırşehir) Fluorit mineralleşme ve kökenine bağlı sıvıların fiziko-kimyasal özellikleri, Doğa (1988), (baskıda).

YAZ KLİMASINDA ISI KAZANCININ
TEORİK-NÜMERİK HESAPLANMASI

Tuncay YILMAZ(*)
R.Tuğrul ÖGULATA(*)

ÖZET

Bu çalışmanın amacı, yaz döneminde mahal içinde biyoklimatik konforu sağlamak için, ısı kazancını minimize edecek duvar malzemesi geliştirilmesi ve seçiminin kolaylaştırılmaktır.

Çalışmada üç ayrı gün gözönüne alınarak, çeşitli duvar kalınlığı ve malzemesi incelenmiştir. Bununla beraber, duvar iç-dış yüzeylerindeki toplam ısı transfer katsayısı oranlarının, günlük toplam ısı kazancı ve maksimum ısı ani değişimine etkisi hesaplanmıştır.

A NUMERICAL ALGORITHM FOR COMPUTATION OF HEAT
GAIN IN SUMMER TIME AIR CONDITIONING

ABSTRACT

The objective of this study is to propose simple ways for development and selection of wall materials so as to minimize the heat gain and to provide for a bio-climatically comfortable indoor area in summer time.

Miscellaneous wall materials of varying thicknesses were studied under conditions of three different days. The influence of heat transfer coefficient ratios on the inner and outer faces of the wall upon variation of daily total heat gain and the time of occurrence of maximum heat gain was also computed.

(*) Ç.O.Müh-Mim.Fak., Makina Müh.Böl., Balcalı-ADANA

1. GİRİŞ

İçinde yaşadığımız binalarda, yaz günlerinde en az enerji harcayarak istenilen biyoklimatik konforu sağlayacak yapı özelliklerinin seçimi çok önemlidir. Binaların dış yüzeyleri, dış ortamla sürekli bir etkileşim içindedir ve iç ortam ikliminin oluşmasında büyük rol oynarlar.

Bilindiği gibi iklim olaylarının en büyük nedeni güneşestir. Güneş enerjisi, dış iklimi değiştirirken bunun yanında bina yüzeyine gelen kısmının duvardan geçmesiyle de dolaylı olarak iç ortam iklimini değiştirir. Bu nedenle binaların daha yapım sırasında, duvarın ıslık özelliklerini, yüzeysel özelliklerini, yönünü etkili bir biçimde tasarlama gereklidir.

2. MATEMATİKSEL MODEL VE NÜMERİK YÖNTEM

Düzlem bir duvarda (Şekil 1) bir boyutlu genel enerji denklemi

$$\frac{\partial T}{\partial t} = a \frac{\partial^2 T}{\partial y^2} \quad (1)$$

şeklindedir. Burada T sıcaklığı, t zamanı, y duvar kalınlığı yönündeki boyutu ve a 'da ıslık yayınım katsayısını göstermektedir. Sınır şartları ise, duvar dış yüzeyinde, güneşten gelen anlık toplam ıshınmı sa-yesinde oluşan ısı kazancı ile dış ortamdan daha sıcak olan duvar dış yüzeyinden konveksiyonla meydana gelen ısı kaybı dikkate alınarak duvara iletimle geçen ısı

$$y = 0, \quad \lambda_d \frac{dT}{dy} = -\epsilon q + \alpha_d (T_{dd} - T_a) \quad (2)$$

olacaktır. λ_d duvarın ısı iletim, ϵ yutma katsayı, q duvar yüzeyine gelen anlık toplam ıshınmı, α_d radyasyonu da içeren toplam dış yüzey ısı transfer katsayı, T_{dd} duvar dış yüzey ve T_a anlık dış ortam sıcaklıklarıdır. T_a nın hesaplanması Ek 1 de verilmiştir.

Duvar iç yüzeyinde ise iletimle gelen ısı, konveksiyonla iç ortama transfer edileceğinden ikinci sınır şartı

$$y = s, \quad -\lambda_d \frac{dT}{dy} = \alpha_i (T_{di} - T_i) \quad (3)$$

birimindedir. α_i iç yüzey ısı transfer katsayı, T_{di} duvar iç yüzey

İsi kazancının teorik-nümerik hesaplanması

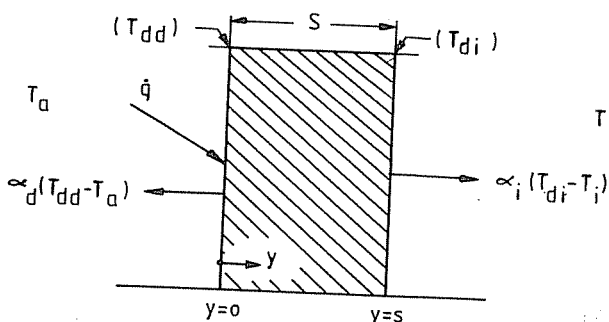
ve T_i sabit iç ortam sıcaklıklarıdır.

Başlangıç sınır şartı, 24 saatlik periyodlar gözönüne alınarak, ele alınan periyod ile bir sonraki periyotdaki sıcaklıkların aynı olması gerektidir:

$$T(y, t) = T(y, t+t_0) \quad (4)$$

t_0 , 24 saat olmak üzere günlük periyoddür.

Bir çözümün değişik parametreler için kullanılması galesiyle gerekli olan bütün denklemler ve başlangıç-sınır şartlarıyla beraber enerji denklemi boyutsuz hale dönüştürülmüştür. Eş.(1) ile verilen genel enerji denklemi,



Şekil 1. Duvarı etkileyen ısınım ve konveksiyon ısları ile sıcaklıklar

$$t^* = t/t_0 \quad , \text{Boyutsuz zaman} \quad (5)$$

$$y^* = y/s \quad , \text{Boyutsuz kalınlık} \quad (6)$$

$$T^* = (T - T_i)/\Delta T \quad , \text{Boyutsuz sıcaklık} \quad (7)$$

$$Bi_d = \alpha_d s / \lambda_d \quad , \text{Dış yüzey Biot sayısı} \quad (8)$$

$$\alpha^* = \alpha_i / \alpha_d \quad , \text{İç ve dış yüzey ısı transfer katsayıları oranı} \quad (9)$$

$$Bi_i = \alpha^* Bi_d \quad , \text{İç yüzey Biot sayısı} \quad (10)$$

$$a^* = at_0 / (\lambda_d / \alpha_i)^2 \quad (11)$$

boyutsuz sayılarıyla

$$\frac{\partial T^*}{\partial t^*} = \frac{a^*}{(\alpha^* Bi_d)^2} \frac{\partial^2 T^*}{\partial y^*^2} \quad (12)$$

est.(2) ve (3)'de verilen sınır şartları ise,

$$y^* = 0 \quad , \quad \frac{dT^*}{dy^*} = - \dot{q}^* + Bi_d (T_a^* - T^*) \quad (13)$$

$$y^* = 1 \quad , \quad \frac{dT^*}{dy^*} = - \alpha^* Bi_d T^* \quad (14)$$

haline getirilmiştir. Burada

$$\dot{q}^* = \frac{S}{\lambda_d \Delta T} \epsilon \dot{q} \quad (15)$$

ve

$$\Delta T = \frac{S}{\lambda_d} \dot{q}_{max} \quad (16)$$

şeklinde tarif edilmiş olup \dot{q}_{max} yatay düzleme gelen, hesaplamanın yapıldığı gündeki anlık toplam işinimin maksimum değeridir. \dot{q} ve \dot{q}_{max} 'ın hesaplanması Ek 2 de verilmiştir.

Başlangıç şartı da

$$T^*(y^*, t^*) = T^*(y^*, t^* + 1) \quad (17)$$

şekline getirilmiştir.

Bina duvarı, Şekil 2 de gösterildiği gibi, kalınlığı boyunca M bölgeye, hesaplamanın yapıldığı günlük periyod ise N bölgeye ayrılmıştır.

Eşitlik sayısı, i yönünde N, j yönünde (M-1) nokta ile

$$N(M-1) = NM-N \quad (18)$$

kadar, toplam nokta sayısı ise i yönünde (N+1) ve j yönünde (M+1) nokta ile

$$(N+1)(M+1) = NM+N+M+1 \quad (19)$$

kadar olacaktır. Nokta sayısı ile eşitlik sayısı farkı, çözüm için gerekli olan ilave denklem sayısını verecektir. Bu da

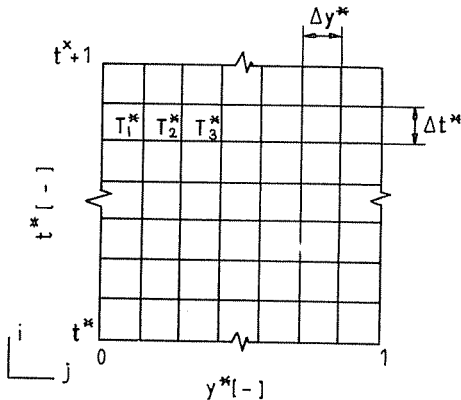
$$2N+M+1 \quad (20)$$

değerindedir. Verilen sınır şartından sağlanan eşitlik sayısı ise i yönünde $2(N+1)$ ve j yönünde $(M-1)$ sayıda olduğundan

$$2N+M+1 \quad (21)$$

olacaktır. Görüldüğü gibi çözüm için gerekli eşitlikler sınır şartından sağlanmaktadır.

Genel enerji denkleminin çözümü, sonlu farklar yöntemiyle birer günlük periyodlar içinde hesaplanan değerlerin iterasyonu ile sıcaklıklarda % 1 den az değişme sağlanınca elde edilmiştir.

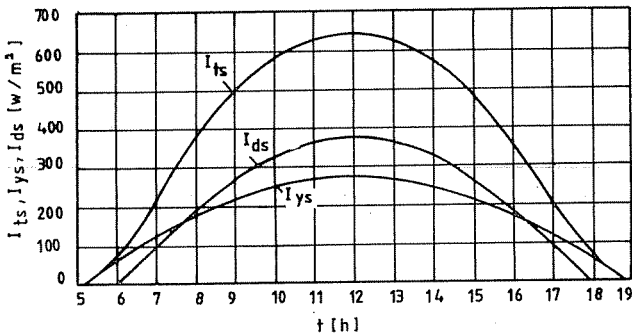


Şekil 2. Duvar kalınlığı boyunca bir günlük periyodda sayısal yöntemde gözönüne alınan noktalar.

3. ARAŞTIRMA BULGULARI VE SONUÇLAR

İnceleme, Adana'da yatay yüzeye gelen günlük toplam ışınımının maksimum olduğu 184.gün, günlük ortalama sıcaklığın maksimum olduğu 209.gün ve ışınımla sıcaklığın beraberce etkileri düşünüldüğünde ortalama bir gün olarak 197.gün gözönüne alınarak yapılmıştır. Ancak

yapılan incelemede sıcak dönemin üç ayrı gününde de sonuçların birbirine göre yakın oldukları gözlemediğinden burada sadece 197.günde ve ışınım etkisi maksimum yatay duvarda gerçekleştiğinden yatay duvardaki değişimler verilmiştir. Şekil 3'de Adana ili için hesaplanan yatay düzleme gelen anlık direkt, yaygın ve toplam ışınımlarının güneş saatine göre 197.gündeki değişimleri gösterilmiştir.



Şekil 3. Yatay düzleme gelen anlık direkt (I_{ds}), yaygın (I_{ys}) ve toplam (I_{ts}) ışınımalar. Adana ili, 197.gün.

3.1. Dış Yüzeyden İç Ortama Geçen Günlük Ortalama Boyutsuz Isı Miktarının Biot Sayısıyla Değişimi

3.1.1. İç Ortama Geçen Günlük Ortalama Boyutsuz Isı Miktarı Duvar yüzeyinden iç ortama transfer edilen anlık ısı,

$$\dot{q}_i = \alpha_i (T_{di} - T_i) \quad (22)$$

şeklinde olacaktır. Boyutsuz ısı miktarı ise, eşitliğin her iki tarafının eşt.(16) ile verilmiş ΔT 'ye bölünmesiyle

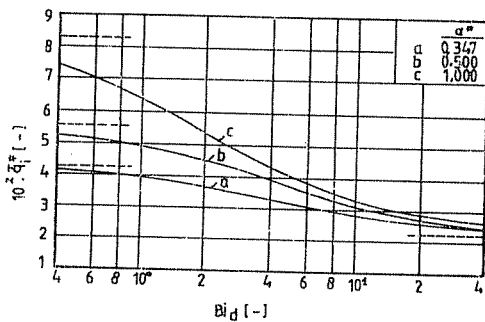
$$\frac{\dot{q}_i}{\dot{q}_{max}} = B_{i,i} T^*_{y=1} \quad (23)$$

$$\dot{q}_i^* = \frac{\dot{q}_i}{\dot{q}_{max}} = \alpha^* B_{i,d} T^*_{y=1} \quad (24)$$

şeklinde hesaplanan boyutsuz anlık iç ortama geçen ısı miktarının, yine boyutsuz zaman alınarak gün boyunca integrasyonu ile günlük ortalama boyutsuz iç ortama geçen ısı miktarı,

$$\bar{q}_i^* = \int_{t^*}^{t^*+1} \dot{q}_i^* dt^* \quad (25)$$

şeklinde olacaktır. Daha önce tanımlanmış olan α^* 'ın yatay duvardan geçen boyutsuz günlük ortalama ısı miktarının dış yüzeyindeki Biot sayısı ile değişimi Şekil 4'de gösterilmiştir.



Şekil 4. Yatay duvarda, boyutsuz ortalama ısı miktarının α^* 'a bağlı olarak Bi_d ile değişimi, $T_i = 25^{\circ}\text{C}$, $a^* = 9,631$. (Kesikli çizgiler sınır durumları göstermektedir.)

Sekilde a eğrisiyle gösterilen α^* değeri normal durumu ($\alpha_d=23$, $\alpha_i=8$) vermektedir. Göründüğü gibi α^* 'ın en küçük değerinde iç ortama geçen ısı en küçük olmaktadır. Ayrıca Bi_d 'nın büyümesiyle giineşten iç ortama gelen etkinin azaldığı da izlenebilmektedir.

Diyağramdaki değerler nümerik hesaplamalar sonucu bulunmuş değerlerdir. Bu nedenle nümerik hesaplamanın doğruluğunu kontrol etmek ve aynı zamanda \bar{q}_i^* 'ın sınır değerlerini tespit etmek amacıyla bazı varsayımlar yaparak analitik sonuçlar elde edilmiştir.

3.1.2. Sınır Durumlarının Tesbiti

3.1.2.1. Dış Yüzey Biot Sayısının Çok Büyüк Olması

Dış yüzey Biot sayısının çok büyük olması, duvar yüzeyine gelen güneş enerjisinin olduğu gibi geri gitmesini sağlayacaktır. Bu durumda duvar dış yüzeyinde ıshınmadan dolayı sıcaklık yükselmeyecek, dolayısıyla dış yüzey sıcaklığı dış ortam sıcaklığına eşit olacaktır.

Benzer şekilde iç yüzey Biot sayısının sonsuza gitmesi iç yüzey sıcaklığını iç ortam sıcaklığına eşitleyecek ve bu nedenle de ısı transferi sadece iletimle olacaktır.

$$Bi_d \rightarrow \infty \quad \alpha_d \rightarrow \infty$$

$$Bi_i \rightarrow \infty \quad \alpha_i \rightarrow \infty$$

iletimle geçen ısı miktarının günlük ortalama değeri ise

$$\bar{q}_i = \frac{1}{24} \int_0^{24} \frac{\lambda_d}{s} (T_a - T_i) dt = \frac{\lambda_d}{s} (\bar{T}_a - T_i) \quad (26)$$

daha önce verilen boyutsuz ısı tanımdan hareketle,

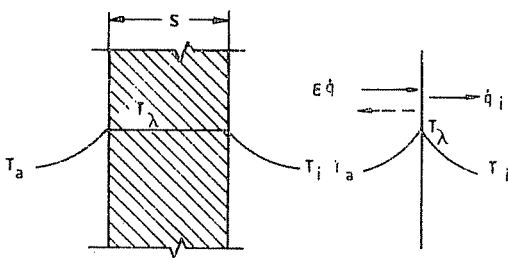
$$\bar{q}_i^* = \frac{\bar{q}_i}{\dot{q}_{max}} = \frac{\lambda_d}{s} (\bar{T}_a - T_i) \frac{1}{\dot{q}_{max}} = \frac{\bar{T}_a - T_i}{\Delta T} = \bar{T}_a^* \quad (27)$$

elde edilir. Bu durumda, iç ortam sabit sıcaklıkta tutulduğundan \bar{T}_a ve dolayısıyla \bar{q}_i^* değerini, günlük ortalama çevre sıcaklığı \bar{T}_a ve ΔT sıcaklık farkı yani \dot{q}_i ısı akımını dış ortam sıcaklığı belirleyecektir.

3.1.2.2. Dış Yüzey Biot Sayısının Çok Küçük Olması

Dış yüzey biot sayısının dolayısıyla α_d 'ın sıfıra gitmesi duvar dış yüzeyine gelen güneş enerjisinin olduğu gibi duvara geçmesini sağlayacak ve bu durumda duvar içinde ıslı direnç de ihmäl edilebileceğinden duvarda bir sıcaklık gradyanı oluşmayacaktır. Şekil 5'de duvardaki sıcaklık ve gelen giden ıslar gösterilmiştir.

\dot{q} duvar yüzeyine gelen anlık ıshınım olmak üzere, T_λ duvar sıcaklığı



Şekil 5. Duvardaki sıcaklık ve gelen giden ısılardan

$$\epsilon \dot{q} = \alpha_d (T_\lambda - T_a) + \alpha_i (T_\lambda - T_i) \quad (28)$$

$$T_\lambda = (\epsilon \cdot \dot{q} + \alpha_d T_a + \alpha_i T_i) / (\alpha_i + \alpha_d) \quad (29)$$

şeklinde elde edilir. iç ortama transfer edilecek anlık ısı ise,

$$\dot{q}_i = \alpha_i (T_\lambda - T_i) = \frac{\alpha_i}{\alpha_i + \alpha_d} [\epsilon \dot{q} + \alpha_d (T_a - T_i)] \quad (30)$$

olarak hesaplanır. iç ortama geçen günlük ortalama ısı miktarı, eşt. (30)'un gün boyu integrasyonuyla,

$$\bar{q}_i = \frac{1}{24} \int_0^{24} \dot{q}_i dt = \frac{\alpha_i}{\alpha_i + \alpha_d} [\epsilon \bar{q} + \alpha_d (\bar{T}_a - T_i)] \quad (31)$$

birimde olacaktır. \bar{q} , güneşten duvar yüzeyine gelen 24 saatlik ortalama ışınımdır. Yine boyutsuz ısı tanımından

$$\bar{q}_i^* = \frac{\alpha_i}{\alpha_i + \alpha_d} \left[\frac{\epsilon \bar{q}}{\dot{q}_{\max}} + B_{id} \bar{T}_a^* \right] \quad (32)$$

boyutsuz ortalama günlük ısı miktarı elde edilir. $B_{id} \rightarrow 0$ gitmesi halinde bu eşitlik daha da basitleşir ve

$$\bar{q}_i^* = \frac{1}{1 + 1/\alpha^*} \frac{\epsilon \bar{q}}{\dot{q}_{\max}} \quad (33)$$

şekline dönüşür. Bu eşitlik ve est.(E 2.7) dikkate alındığında

$$\bar{q}_i^* = \frac{1}{1+1/\alpha^*} \frac{t_{gi}}{12\pi} \epsilon \quad (34)$$

bulunur.

3.2. İç Ortama Transfer Edilen Maksimum Boyutsuz Isının B_i_d ile Değişimi

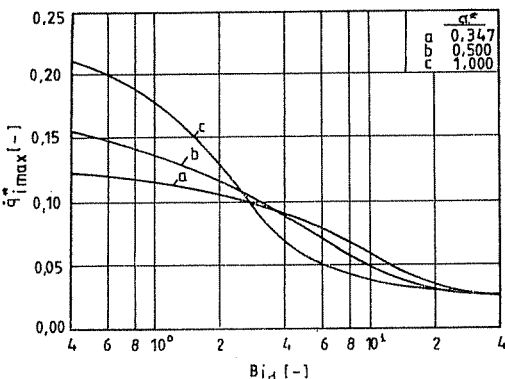
Bilindiği gibi soğutma yükü hesapları ısı kazancının maksimum olduğu an dikkate alınarak yapılır. Bu amaçla çalışmada bir günlük periyod içinde maksimum ısı kazancının hangi değerlere çıktıığı ve nelere bağlı olarak değiştiği üzerinde de durulmuştur.

Şekil 6'da yatay duvarda çeşitli α^* değerlerinde boyutsuz maksimum ısı kazancının Biot sayısına göre değişimi gösterilmiştir. Bu şeviden görüldüğü gibi duvar yüzeyine gelen ışınımın etkisi B_i_d 'nın artması ile yüzeyden dış ortama doğru konveksiyonla ısı kaybını büyütceğinden, gittikçe azalacaktır. Ancak küçük B_i_d 'larda α^* değerinin artması zaten duvardan maksimum oranda gelen ışının iç ortama da maksimum oranda geçmesini sağlayacaktır. Bunun yanında, α^* 'in artışı α_i 'in artışı olarak kabul edilecek olursa, iç ortama sürekli büyük oranda ısı transfer edileceğinden maksimum ısı, anlık ısların bir günlük periyod içindeki ortalama değerine yaklaşacak, dolayısıyla maksimum ısı değerinde bir düşüş olacaktır. Bu durum düşük B_i_d değerlerinden büyük B_i_d değerlerine geçiş bölgesinde belirgin olarak görülmektedir.

3.3. İç Ortama Transfer Edilen Maksimum Isı Anının B_i_d ile Değişimi

Soğutma yükü hesabı genellikle ısı kazançlarının maksimum olduğu ana göre yapılır. Bu nedenle maksimum ısı kazancının olduğu anın tesbiti çok önemlidir. Duvar özelliklerine göre bu değişimi belirlemek amacıyla çeşitli α^* değerlerinde B_i_d 'nın maksimum ısı kazancının olduğu an t_m^* 'e etkisi hesap sonucu 197.gende yatay duvar için Şekil 7'de verilmiştir.

Burada, B_i_d 'nın küçük değerlerinde duvar kalınlığı çok küçük, ısı iletim katsayısı çok yüksek olan bir duvar düşünülebilir. Bu du-



Sekil 6. Yatay duvarda maksimum boyutsuz ısıının α^* 'a bağlı olarak Bi_d ile değişimi, $a^* = 9,631$.

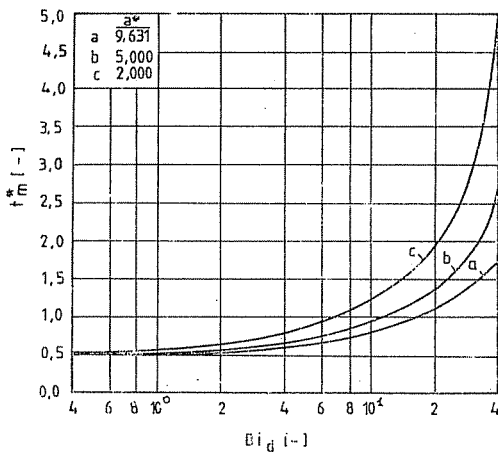
rumda ısıl direnç düşük olduğundan dış ortam etkileri, etkinin maksimum olduğu anda iç ortama da maksimum oranda tesir edecektir. Bu nedenle iç ortama transfer edilen maksimum anlık ısı saat 12'de meydana gelecek, dolayısıyla duvarın maksimum ısıyı iç ortama transferinde bir gecikme olmayacağındır. Bi_d 'ın yüksek değerleri ise duvar kalınlığının artması, duvarın ısı iletim katsayısının azalması gibi düşünülecek olursa ısıl direnci artacak, bu nedenle saat 12'de maksimum olan dış etki ancak bir gecikme fazı ile iç ortama tesir edecektir. Ayrıca şeviden görüldüğü gibi a^* değerinin azalması duvar elementinin ısıl kapasitesini; bunun sonucu ısı depolama kabiliyetini yükselteceğinden gecikme zamanı daha da artacaktır. Bu değişimlere a^* değeri katılarak bakılacak olursa, a^* değerinin dolayısıyla α_i 'in artması zaten artan Bi_d 'dan dolayı duvardan daha az gönderilen ısıının iç ortama transferinde, maksimum ısıının gece saatlerine kaymasına ve belki de transfer edilen ısıının zamana göre çok az değiştmesini sağlayarak maksimum ısıının meydana gelmesini de engelleyecektir.

4. SONUÇ

Bina duvarlarından geçen, güneş radyasyonunun meydana getirdiği ısı miktarının, yapı özellikleri açısından tetkiki oldukça önemlidir. Bu sayede en az ısı transferinin gerçekleşmesi, dolayısıyla en

ekonomik konfor şartlarının sağlanması için nesil bir yapı elemanına ihtiyaç olduğu hakkında bir fikir edinebilir. Yapılan çalışmada da görüldüğü gibi transfer edilen ısı bina duvarının kalınlığına, ısı iletim katsayısına, yoğunluğuna, özgül ısısına bunun yanında iç ve dış yüzdeki ısı transfer katsayılarına bağlıdır.

Burada önemli olan iç ortamda maksimum ısıının, ısıının maksimum olduğu andan mümkün olduğunda daha geç olmasını sağlayabilmektir. Bunun için de ıslı kapasitesi yani ısı depolama kabiliyeti yüksek yapı elemanlarının seçilmesi gereklidir. Bu da daha küçük a^* değerine sahip yapı malzemesi demektir.



Sekil 7. Yatay duvarda, maksimum ısı anının a^* değerine bağlı olarak, B_{id} ile deňimi, $\alpha^* = 0,347$.

EK 1 :

Maksimum sıcaklığının saat 14'de olacağı varsayılarak T_a anlık ortam sıcaklığı

$$\bar{T}_a = \bar{T}_a + \Delta T_g \cos [2\pi(t-14)/24] \quad (E1-1)$$

seklinde tanımlanmıştır. \bar{T}_a günlük ortalama çevre sıcaklığı olup

$$\bar{T}_a = \bar{T} - A_T \cos \left[\frac{2\pi}{365} (n - \emptyset_T) \right] \quad (E1-2)$$

bağıntısıyla hesaplanır [1]. Burada, \bar{T} günlük çevre sıcaklığının yıllık ortalaması, A_T fonksiyon genliği, n yılın gün sayısı ve θ_T fonksiyon kaymasıdır. ΔT_g günlük sıcaklık genliği olup, maksimum ve minimum çevre sıcaklıklarını farkının yarısı, t ise güneş saatı esas alınarak günün saatleridir.

EK 2 :

$$\dot{q}_{\max} \text{ değeri, } \\ \dot{q}_{\max} = \frac{\pi}{2} \frac{I}{t_{gi}}$$

(E2-1)

bağıntısından bulunur. I yatay düzleme gelen günlük toplam güneş ışınımı olup

$$I = \bar{I} - A_I \cos \left[\frac{2\pi}{365} (n + \theta_I) \right] \quad (E2-2)$$

biçiminde hesaplanır. Burada, \bar{I} günlük toplam ışınımının yıllık ortalaması, A_I ışınım fonksiyon genliği ve θ_I ışınım fonksiyonu faz kaymasıdır [1]. t_{gi} gerçek gün uzunluğundan daha kısa olan izafî gün uzunluğuudur [2]:

$$t_{gi} = \frac{\pi}{2} \frac{1}{r_t^*} \cos \left[\pi \frac{0,5}{t_{gi}} \right] \quad (E2-3)$$

$$r_t^* = 1,18 t_g^{-0,854} \quad (E2-4)$$

t_g gerçek gün uzunluğu olup

$$t_g = \frac{2}{15} \operatorname{Arc Cos} (-\tan e \cdot \tan d) \quad (E2-5)$$

şeklinde tanımlanmıştır [3]. Burada, e bulunulan yerin enlem açısı ve d deklinasyon açısıdır [4]:

$$d = \frac{2\pi}{360} \left\{ 23,45 \sin \left[\frac{2\pi}{365} (284 + n) \right] \right\} \quad (E2-6)$$

t_{gi} , eşt(E2-3)'den iterasyonla bulunmaktadır.

Duvar yüzeyine gelen anlık ışınım \dot{q} ise (yatay duvar için),

$$\dot{q} = \frac{\pi}{2} \cdot \frac{I}{t_{gi}} \cos \left[\frac{\pi}{t_{gi}} (t-12) \right] = \dot{q}_{\max} \cos \left[\frac{\pi}{t_{gi}} (t-12) \right] \quad (E2-7)$$

şeklinde verilmüştür [1].

KAYNAKLAR

- [1] A.Önal, Y.Tanes, ve di, Günlük ortalama Güneş ışınımı ve sıcaklık değerlerinin yıllık değişimini sürekli fonksiyonlarla ifadesi, fonksiyon parametrelerinin Türkiye'deki dağılımı. Isı Biliimi ve Tekniği Dergisi, 8/4 (1986), 37-45
- [2] A.Önal, Y.Tanes, Yatay düzleme gelen saatlik ortalama Güneş ışınınımının hesaplanması, Isı Biliimi ve Tekniği 4.Kongresi, ODTÜ-Gaziantep Müh.Fak.Matbaası, 1983. 233-245
- [3] A.Önal, Güneş Enerjisiyle Konut Isıtılmasında Çeşitli Parametrelerin Sistemin Boyutlarına ve Maliyetine Etkisi. K.U.Fen Bilimleri Enstitüsü Yüksek Lisans Tezi, 1983.
- [4] J.A.DUFFIE, W.A.BECKMAN, Solar Energy Thermal Processes John Wiley and Sons, Inc, 1974.

LAMİNER GELİŞEN AKIŞTA ÇEŞİTLİ KESİT ALANLI
BORULARDA BASINÇ KAYBİNİN HESAPLANMASI

Tuncay YILMAZ (X)
Kadir AYDIN (X)

ÖZET

Çeşitli kesit alanlı borularda laminer gelişen akışta basınç kaybı, literatürde verilen değerler yardımıyla hesaplanmaktadır. Ancak her çeşit kesit alanı için bu değerleri bulmak zor, bazen imkansız olup, bilgisayarla hesaplanması gereklidir.

Basınç kayıp katsayısını hesaplamak için bilinen d_e eşdeğer çap tarifinin yanında, kesit alanı içine siğan en büyük çaplı daire çapı d_{max} ve gerçek alan-eşdeğer alan oranı n tarif edilmiştir. Bu tariflerde $d^x = \frac{d_e}{d_{max}}$ ve n boyutsuz sayılarının, kesit alan geometrisini tanımlayan ana parametreler olduğu görülmüştür.

Bu çalışmada, basınç kayıp katsayısını, değişik kesit alanlarında n ve d^x boyutsuz sayılarının fonksiyonu olarak vermenin mümkün olduğu gösterilmiştir. Basınç kayıp katsayısını $\pm 18,9$ maksimum hata ile her türlü kesit alanı borular için hesaplamaya yarayan eşitlik çıkarılmıştır.

CALCULATION OF THE PRESSURE LOSSES OF DEVELOPING LAMINAR
FLOW IN A CIRCULAR PIPE VARIABLE CROSS-SECTIONS

The pressure losses of the developing laminar flow in a circular pipe of variable cross-sections are determined according to data given in the literature. But it is difficult to obtain data for all types of cross-sections, sometimes it is impossible, in this case it is necessary to do the calculations by the computer.

In order to compute the coefficient of the pressure losses,

beside the equilateral diameter definition, d_{\max} which is the maximum diameter of the circle fitted the cross-section area and n the ratio of true area to the equilateral area are defined. From this definitions it is seen that the parameters $d^* = \frac{d}{d_{\max}}$ and n are the non-

dimensional main parameters describing the geometry of the cross-sectional area.

In this work it is shown that it is possible to give the coefficient of pressure losses in a circular pipe of variable cross-sections as a function of dimensionless numbers n and d^* . The equation which is capable of calculating the coefficient of pressure losses with maximum error of $\pm 18,9\%$ for the all types of pipes of variable cross-section is driven.

1. GİRİŞ

Günümüzde artık sadece klasik dairesel borular dışında kullanım yerinin durumuna ve özelliklerine göre çeşitli kesit alanlı borular da yararlanılmaktadır. Özellikle küçük boyutlu ve ıslı gücü yüksek ısı değiştiricilerinin yapımının gittikçe artması, ayrıca imalat tekniklerinin gelişmesiyle her çeşit kesit alanlı boruların kolayca imal edilebilmesi, dairesel boru haricindeki diğer kesit alanlı boruların kullanılmasına yol açmaktadır.

Literatürde çeşitli kesit alanları için, laminer gelişen akışta değişik basınç kayıp katsayısı $K(x)$ değerleri verilmiştir. Fakat bütün kesit alanları için $K(x)$ 'ler belli değildir. Yani farklı kesit alanları için $K(x)$ 'i hesaplamak mümkün değildir. Bu çalışmada, belirli bir \pm hatayı kabul ederek, bütün kesit alanları için $K(x)$ 'i bulmaya yarayan eşitlikler verilecektir.

2. KONUNUN AÇIKLANMASI VE KONU ÜZERİNDEKİ ÇALIŞMALAR

Gelişen akışta sürdürmeden dolayı basınç kaybı;

$$\Delta P^* = \lambda \frac{d}{d_e} + K(x) \quad (1)$$

eşitliği ile hesaplanır. Burada;

$$\Delta P^* = \Delta P / \frac{\rho u^2}{2} \quad (2)$$

şeklinde tanımlanmıştır. Bu eşitliklerde ΔP basınç kaybını, λ basınç kayıp katsayısını, L boru uzunluğunu, d_e kesit alanı A ve çevresi Ç olan kanalın eşdeğer çapını, \bar{U} akışkanın ortalama hızını, ρ akışka-

Basınç kaybinin hesaplanması

nin yoğunluğunu, $K(x)$ ise gelişen akışta akış kesiti ve kanal uzunluğuna bağlı olarak bulunan ek basınç kayıp katsayısidır.

Laminer gelişmiş akışta basınç kayıp katsayısı,

$$\lambda = \frac{64}{Re} \cdot \psi \quad (3)$$

şeklinde hesap edilmektedir. Burada R_e , Reynolds sayısı olup,

$$Re = \frac{\bar{U}_e d_e}{\nu} \quad (4)$$

olarak tarif edilir. Bu eşitliklerdeki ν , akışkanın ait kinematik viskozite ψ ise akış kesitine bağlı bir parametre olup hesaplanması [1] de verilmiştir. Eşt.(1) ve eşt.(3) den

$$\Delta P^* = \frac{64}{R_e} \cdot \frac{L}{d_e} + K(X) \quad (5)$$

elde edilir.

$$X^* = \frac{L}{d_e \cdot Re} \quad (6)$$

tarifiyle eşt.(5),

$$\Delta P^* = 64 X^* + K(X) \quad (7)$$

şekline gelir.

$K(X^*)$ basınç kayıp katsayısını yalnız d_e eşdeğer çap tarifiyle hesaplamak mümkün değildir. Bunun yanında daha başka parametrelere de ihtiyaç vardır.

\mathcal{C} çevreli ve A kesit alanlı boruya eşdeğer olarak n adet d_e çaplı dairesel kesit alanlı boru alınabilir. Bu eşdeğer çaplı boruların toplam kesit alanları ve çevreleri A ve \mathcal{C} 'ye eşit olacaktır:

$$A = n \cdot A_e = n \cdot (\pi/4) \cdot d_e^2 ; \mathcal{C} = n \cdot C_e = n \cdot \pi \cdot d_e \quad (8)$$

Bu eşitlikten eşdeğer çaplı boru sayısı n;

$$n = A/A_e = \mathcal{C}/C_e \quad (9)$$

bağlantısıyla bulunur. O halde en azından d_e eşdeğer çapı yanında, n eşdeğer çaplı boru sayısının da basınç kayıp katsayısını etkilemesi gerekmektedir. Bunun yanında daha başka büyülüklerde $K(X^*)$ 'i etkilemektedir. Bu büyülükler kesit alanı içine sığan en büyük dairenin çapı d_{max} ve X^* da d_{max} çapı, d_e ile boyutsuz yapıldığında

$$d^* = d_e / d_{\max} \quad (10)$$

elde edilir. O halde $K(X^*)$; n , d^* ve X^* 'in fonksiyonudur.

Kanal geometrisine bağlı $K(X^*)$ 'i n , d^* ve X^* değerlerine bağlı olarak hesaplamak için önce kanal boyutlarına bağlı literatürde [2] verilen $K(X^*)$ değerleri alınacak ve aynı boyutlara karşılık gelen n , d^* ve X^* değerleri hesaplanacaktır. Daha sonra n , d^* ve X^* değerlerine bağlı olarak $K(X^*)$ belirlenecektir.

3. BİR BOYUTU DIĞERİNE GÖRE ÇOK KÜÇÜK OLAN BORULARIA $K(X^*)$ 'İN TEORİK OLARAK HESAPLANMASI

Gelişmiş akışta bir boyutu diğerine göre çok küçük kanalda MacLenn-Cross'a [2] göre

$$K_{\infty} = K_{d\infty} - K_{e\infty} \quad (11)$$

olarak hesaplanır. Burada $K_{d\infty}$ momentum akış katsayısı olup,

$$K_d = \frac{6}{5} \frac{\left(\int_0^L y dx \right) \left(\int_0^L y^5 dx \right)}{\left(\int_0^L y^3 dx \right)^2} \quad (12)$$

şeklinde K_e sonsuz da kinetik enerji katsayısı olup,

$$K_{e\infty} = \frac{54}{35} \frac{\left(\int_0^L y dx \right)^2 \left(\int_0^L y^7 dx \right)}{\left(\int_0^L y^3 dx \right)^3} \quad (13)$$

eşitliğiyle bulunur. Burada y ve x koordinatları göstermektedir. y ve x boyutsuz olarak

$$y^* = y/d_{\max} \quad ; \quad X^* = X/L \quad (14)$$

şeklinde ifade edilebilir. y^* ve X^* arasında

$$y^* = X^* m \quad (15)$$

üstel fonksiyonu kabul edilir ve

$$m = \frac{2}{d^*} - 1 \quad (16)$$

eşitliği, eşt.(15) de yerine konursa, eşt.(12) ve eşt. (13),

$$K_{d\infty} = 1,2 \frac{(3-d^*)^2}{(5-2d^*)} \quad (17)$$

$$K_{e\infty} = 1,542 \frac{(3-d^*)^3}{(7-3d^*)} \quad (18)$$

haline gelir.

$$K_{\infty, \infty} = 2 (K_{e \infty} - K_{d \infty}) \quad (19)$$

yazılıp, değerler yerine konursa

$$K_{\infty, \infty} = 2 (1,542 \frac{(3-d^*)^3}{(7-3d^*)} - 1,2 \frac{(3-d^*)^2}{(5-2d^*)}) \quad (20)$$

bağıntısı bulunur. Burada ∞, ∞ indisi $n \rightarrow \infty$ ve $X^* \rightarrow \infty$ durumunu göstermektedir. $K_{\infty, \infty}$, d^* in fonksiyonu olduğundan çeşitli kanal geometrileri için değişik değerler almaktadır.

Ayrıca y^* ile x^* arasında

$$y^* = \sin^m \left(\frac{\pi}{2} x^* \right) \quad (21)$$

sinüs fonksiyonu kabul edilerek eşt. (12), eşt (13) ve eşt. (19) nümerik olarak Simpson yöntemiyle hesaplanmış, d^* ise

$$d^* = 2 \int_0^1 y^* dx^* \quad (22)$$

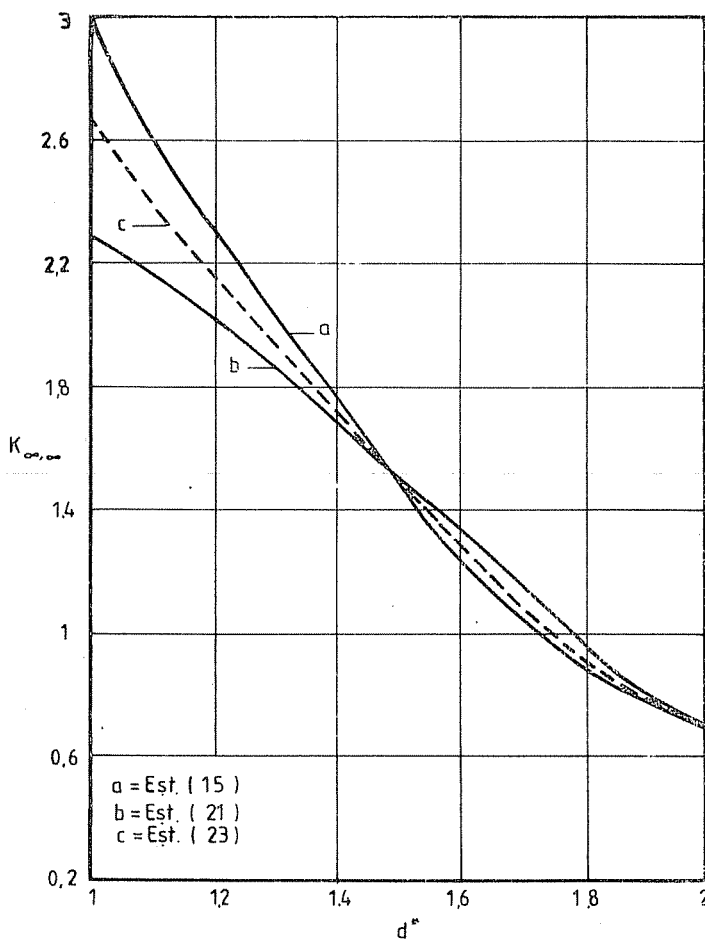
eşitliğiyle belirlenmiştir. Eşt. (15) ve eşt. (21)'e bağlı olarak bulunan $K_{\infty, \infty}$ değerlerinin d^* la değişimi Şekil 1. de gösterilmiştir. Şekilden de görüldüğü gibi paralel levha, elips, üçgen boru için gerçek $K_{\infty, \infty}$ değerleri üstel ve sinüs fonksiyonları arasında kalmaktadır. Bundan dolayı ± belli bir hatayı kabul etmek üzere bu iki fonksiyon arasından C eğrisi geçirilebilir. Bu eğrinin denklemi,

$$K_{\infty, \infty} = 0,67 - (2+d^*)^2 \left[1,2 + \frac{0,75 \cdot d^{*2}}{(2-d^*)^{0,25}} \right] \quad (23)$$

olarak elde edilir.

4. K_{∞} UN N VE d^* DEĞERLERİNİN FONKSİYONU OLARAK HESAPLANMASI

K_{∞} katsayısının hem d^* hem de n boyutsuz sayılarına bağlılığı Şekil 2. de gösterilmiştir. Burada ∞ indisi. $X^* \rightarrow \infty$ durumunu göstermektedir. Yani $K_{\infty, X^* \rightarrow \infty}$ durumundaki (X^*) değeridir. Şekilde üçgen boru ve iç içe iki boru için Literatürde [3] verilen değerler çizilmiştir. Diğer geometrilerde sabit d^* durumlarında K_{∞} un n ile değişimini göstermek mümkün olmamıştır. Bu şekilde gösterilen değerler ile çeşitli borular için literatürde veriler değerlere en uygun eşitlik, YILMAZ [4] tarafından önerilen yöntem dikkate alınarak bulunmuştur. Bu yazara göre,



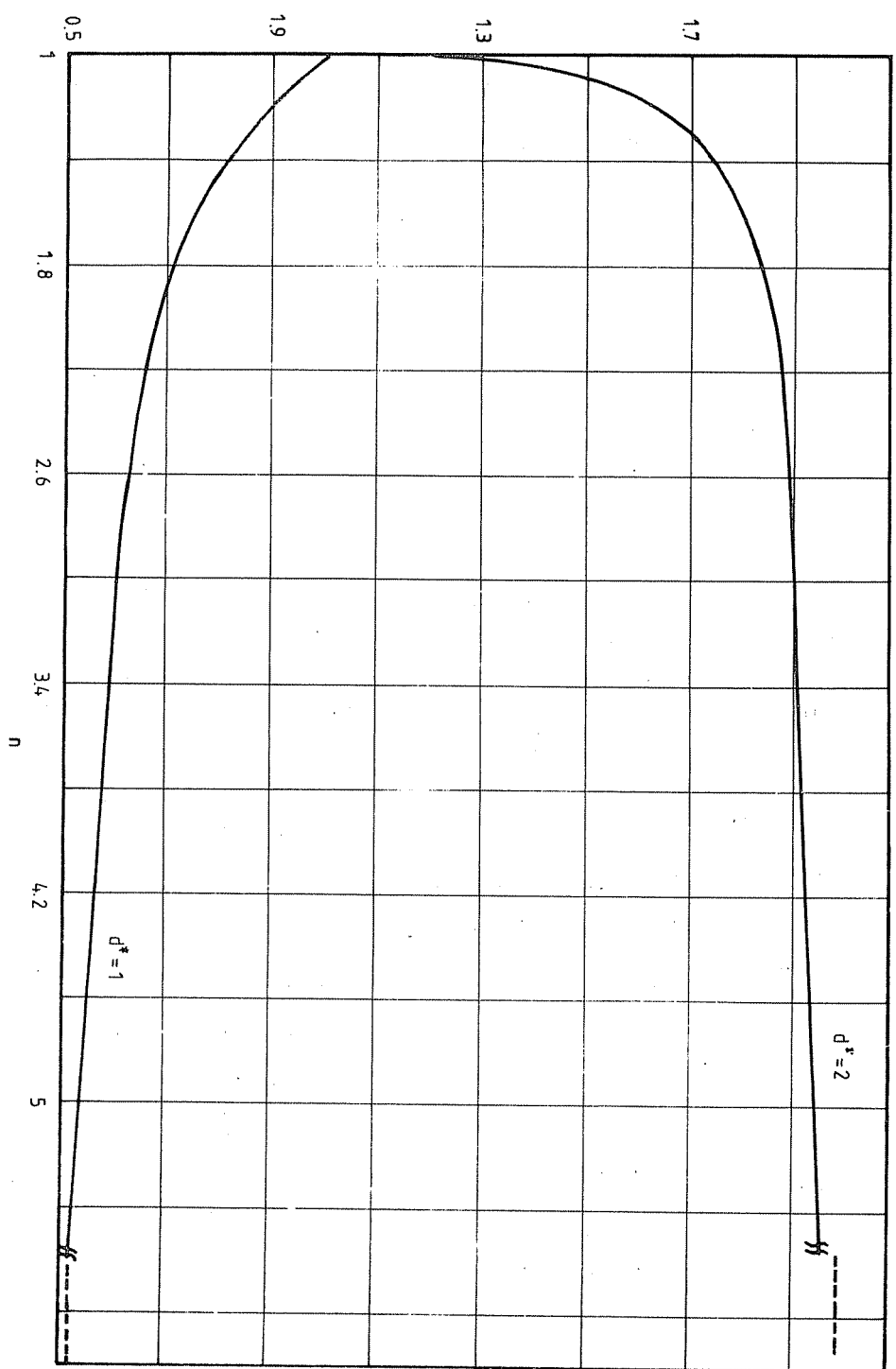
Şekil 1. $K_{\infty, \infty}$ değerinin d^* ile değişimi.

$$f = \frac{\frac{1,33}{K_{\infty}} - 1}{\frac{1,33}{K_{\infty, \infty}} - 1} \quad (24)$$

bağıntısı tanımlanabilir. Buradan K_{∞} değeri çekilirse

$$K_{\infty} = \frac{1,33}{1 + (\frac{1,33}{K_{\infty, \infty}} - 1) f} \quad (25)$$

Basınç kaybının hesaplanması



Sekil 2. K_{∞} katsayısının n ile değişimini, $d^* = 1$ üçgen borunu, $d^* = 2$ iç içe iki borunu göstermektedir.

elde edilir. Bu eşitlikte tek bilinmeyen f değeridir. f 'de n 'in fonksiyonudur ve 0 ile 1 arasında değişmektedir. f değeri basit olarak

$$f = \frac{1}{1 + \frac{a}{n-1}} \quad (26)$$

şeklinde hesaplanabilir. Burada a değeri d^* 'a bağlı bir katsayıdır ve $1/3$ olarak bulunmuştur. Böylece eşt. (26),

$$f = \frac{1}{1 + \frac{1}{3(n-1)}} \quad (27)$$

haline gelir. Eşt. (25) ise, eşt. (23) ve eşt. (27) den

$$K_{\infty} = \frac{1,33}{1 + \left(\frac{1}{1 + \frac{1}{3(n-1)}} \right) \left(\frac{1,33}{0,67 + (2-d^*)^2 |1,2 + \frac{0,75 \cdot d^*}{(2-d^*)^{0,25}}} - 1 \right)} \quad (28)$$

olarak bulunur. Görüldüğü gibi K_{∞} , n ve d^* 'in fonksiyonudur. Çeşitli kesit alanları için literatürde [3] verilen ve eşt. (28)'ye göre hesaplanan K_{∞} değerleri çizelge 1'de gösterilmiştir.

Cizelge 1. Çeşitli akış kesitlerinde K_{∞} katsayısı için eşt. (28)'e göre hesaplanan ve literatürde [3] verilen değerler ile bunların arasındaki farkı.

Akış Kesiti	Eşt. (27)	Literatür [3]	Fark [%]
Elips Boru(Eksen oranları=0,5)	1,49	1,33	- 12,03
İç içe İki Boru(Çap oranları=0,5)	0,722	0,704	- 2,56
Kare Boru	1,707	1,551	-10,058
Üçgen Boru(Eşkenar)	1,975	1,818	- 8,525
Paralel Levha	0,67	0,686	- 2,332
Dikdörtgen Boru(Eksen oranları=0,5)	1,584	1,383	-14,533
Eksantrik Boru(Çap oranları=0,5)	2,22	2,060	- 7,767
Daire Boru	1,333	1,333	0
Daire Parçası Boru(Yarım daire)	1,637	1,463	-11,893

Basınç kaybının hesaplanması

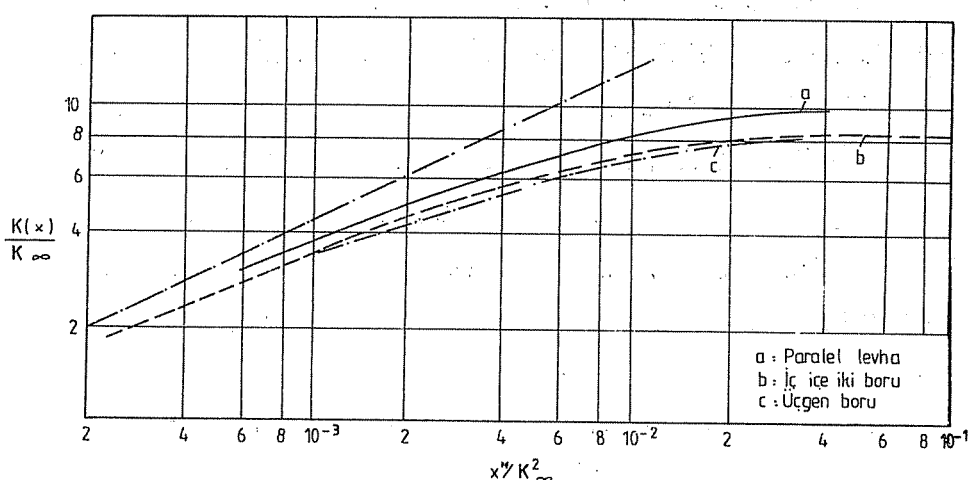
4.1. $K(x)$ in n, d^* ve X^* in Fonksiyonu Olarak Hesaplanması

Gelişen laminer akışta, akış kesitine bağlı olarak bulunan basınç kayıp katsayısı $K(x)$; n , d^* ve X^* 'in fonksiyonudur. Pratikte $K(x)$ 'i hesaplamak için bazı formüller vardır. Fakat bunların kullanılması her zaman mümkün değildir. Ayrıca bütün kesit alanları için belirli $K(x)$ değerleri de yoktur. Literatürde [3] sadece dairesel kesit ve paralel levha için $K(x)$ değerleri mevcuttur. Diğer kesit alanları ise,

$$K(x) = 4X^*(fapp. Re - 16\psi) \quad (29)$$

eşitliği kullanılarak hesaplanmıştır. Burada $fapp. Re$ değeri akış kesitine ve X^* a bağlı bir büyüklüktür.

Sekil 3.de $K(x)/K_\infty$ un X^*/K_∞^2 ile değişimi gösterilmiştir.



Sekil 3. $K(x)/K_\infty$ un X^*/K_∞^2 ile değişimi.

Bu şeviden $K(x)$ için,

$$K(x) = \frac{1}{\sqrt{\frac{1}{K_\infty^2} + 5,27 \cdot 10^{-3}/X^*}} \quad (30)$$

eşitliği elde edilmiştir. Eşt. (28), eşt. (30) da yerine konursa $K(x)$,

$$K(x) = \frac{1}{\sqrt{\left[\frac{1}{1 + \frac{1}{1 + \frac{1}{3(n-1)}}} \left(\frac{1,33}{0,67 + (2-d)^2} - 1 \right) \right] 2 + \frac{5,27 \cdot 10^{-3}}{x^2}}}$$

olarak bulunur. Eşt. (31)'den bulunan ve literatürde [3] verilen K(X) değerlerinin karşılaştırılması çizelge 2'de verilmiştir.

Çizelge 2. Çeşitli akış kesitlerinde K(X) için eşt. (31)'e göre hesaplanan ve literatürde [3] verilen değerler ile bunların arasındaki fark. ($X^* \approx 0,05$).

Akış Kesiti	Eşt. (30)	Literatür	Fark %
İç içe iki boru (çap oranları=0,1)	0,895	0,784	-14,158
Dikdörtgen boru (Eksen oranları=0,5)	1,371	1,220	-12,377
Eksantrik boru (çap oranları=0,1)	1,472	1,488	-1,075
Üçgen Boru (Ükizkenar)	1,741	1,595	-9,153
Kare Boru	1,488	1,353	-9,977
Paralel levha	0,6548	0,6734	-2,762
Daire Boru	1,221	1,252	-2,476

5. SONUÇ

Bu çalışmada gelişen laminer akışta basınç kayıp katsayısı K(X)'in hesaplanması için, tüm kesit alanlarında kullanılabilcek yeni bir eşitlik önerilmiştir. Literatürlerde mevcut değerlerle bu eşitlikten elde edilen sonuçlar karşılaştırılmış ve fark yüzdeleri belirlenmiştir. Bazı akış kesitleri için ortalama hata oranları şöyledir.

İç içe iki boruda $\pm \%$ -13,223, dikdörtgen boruda $\pm \%$ 12,864, eksantrik boruda $\pm \%$ 3,898, üçgen boruda $\pm \%$ 12,864, kare boruda $\pm \%$ 3,531 dir. Göründüğü gibi paralel levha, dairesel boru, eksantrik boru ve kare boru için hata değerleri normaldir. Diğer kesitler için ise ± 10 un biraz üzerine çıkmaktadır. Fakat bunların en büyüğü iç içe iki boruda $\pm 13,223$ 'tür ve bu hata değeri normal kabul edilebilir. En büyük hata değerleri $\pm \%$ 18,5 olarak tesbit edilmiştir.

Başınç kaybinin hesaplanması

KAYNAKLAR

- [1]. YILMAZ,T., UMUR,H., Laminer gelişmiş akışta çeşitli kesit alanlı borularda basınç kaybı ve ısı transferinin hesaplanması, 5. Ulusal Türk İsi Bilim ve Tekniği Kongresi, 18-22 Eylül-1985, İstanbul.
- [2]. MACLINE-CROSS,I.L., An approximate method for calculating heat transfer and pressure drop in ducts with laminar flow. J. Heat Transfer 91, 171/173, 1969.
- [3]. SHAH,R.K ve LONDON, A.L., Laminar flow forced convection in ducts., Academic Press, New York, 1978.
- [4]. YILMAZ, T., Transfer Proseslerinde deneysel ve teorik bulguların yaklaşık eşitliklerle ifadesinde genel esaslar., İsi Bilimi ve Tekniği Dergisi, 2/5, 41/46, 1979.



DUZLEMDE BIR KOORDINAT AYAR MEKANIZMASININ

TASARIM VE INCELEMESİ

I.D. Akçalı*

H. Mutlu *

ÖZET

Bu çalışmada, verilen bir alan içersinde istenilen nokta kordinatlarına getirilebilecek iki serbestlik dereceli bir mekanizmanın çalışma koşullarını sağlayacak biçimde tasarım ve incelemesi gerçekleştirilmiştir. Beş uzuvdan ve beş döner mafsalдан meydana gelen mekanizmanın tasarım ve incelemesi için iki yaklaşım gösterilmiştir. Ortaya çıkan tasarıma ilişkin bir kalibrasyon eğrisi oluşturulmuş ve bununla düzlemdeki koordinatları belli olan bir nokta için mekanizma kollarının hangi konumları alması gerektiği belirlenmiştir. Bu tasarım iç ayırma makinasında denenerek makinanın iş veriminde önemli bir artışa neden olduğu gözlenmiştir.

DESIGN AND ANALYSIS OF A PLANAR MECHANISM

TO WORK WITHIN A SPECIFIED REGION

ABSTRACT

In order that a coupler point be brought to specified coordinates within a bounded region, a mechanism with two degrees of freedom is proposed and the design and analysis of the mechanism satisfying a set of working conditions has been realized. Two approaches leading to the design and analysis of the

* Ç.U. Müh. Mim. Fak, Makina Böl. Balcalı, Adana

mechanism composed of five members and five revolute joints have been shown. A calibration curve with regard to the resulting design has been drawn and by that means it has been possible to find the corresponding angular positions of the mechanism arms when the coordinates of the point are prescribed. This design has been applied to a machine which separates shelled peanuts into hulls and kernels and resultantly an increase in the functional efficiency of the machine has been observed.

1. GİRİŞ

Makina ve mekanizmalardan beklenen işlevlerden birisi de makina ya da mekanizmanın uzuv noktası ya da noktalarının düzlemede istenen noktası ya da noktalardan geçmesini sağlamaktır. Bu tür problemler Mekanizma Tekniği alanında yörünge ve hareket üretimi kapsamı içinde düşünülürler,[1].

Düzlemede önceden belirlenen noktaları izleyen uzuvlara sahip mekanizmalar içinde paralelkenar mekanizmaları özel bir önem taşır. Endüstri, tarım ve günlük yaşamda önem taşıyan paralelkenar mekanizma örnekleri arasında; teknik resim masalarında çizim alanı içerisinde kalan her noktaya erişimi gerçekleyen çizim makinası [2],[3], bıçerdöverlerin toplayıcı mekanizmaları [1], ağır yüklerin belirli noktalara taşınmasında kullanılan kaldırma makineleri [1] arabalarda ve hastanelerde isteğe göre ayarlanabilen koltuklar [1], kopye tezgahları, özel olarak pantograflar [1],[3] sayılabilir.

Önemli bir tarım ürünü olan yerfistığının kırılmasından sonraki iç ayırma işleminde kullanılan havalı ayırıcıda [4] paralelkenar mekanizmalarından yararlanılabilir.

Ayar mekanizmasının tasarım ve incelemesi

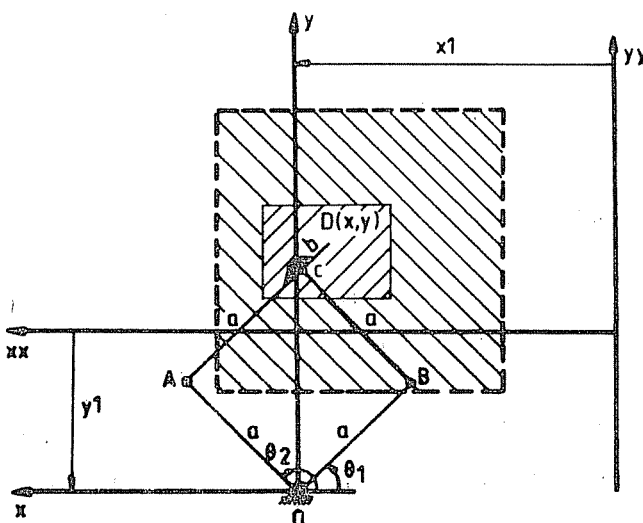
Burada sözü edilen havalı ayırıcı, hava üfleme kanallı ve eğik düzlemden oluşan önemli iki kısma sahiptir. Eğik düzlem yardımı ile içkabuk karışımı belirli bir açı ve hız altında kanaldan çıkan hava ile karşılaşır. Havanın etkisi ile iç ve kabuk farklı yörüngeler izler. Bu yörüngeler arasında sınırları belirli bir alan içerisinde, yeri ayarlanabilir bir set oluşturulabilmesi, iç ve kabugun farklı bölmelere düşmesine neden olur.

2. KOORDİNAT AYAR MEKANİZMASI

2.1 Tanıtma

Ayar işlemini gerçekleştirmek için, beş uzuvdan ve beş döner mafsaldan oluşan bir kol mekanizması önerilebilir. Buradaki ayar mekanizmasının temel işlevi biyel kollarından birisinin uç koordinatlarının istenilen düzlem koordinatlarına getirilmesini sağlamaktır.

Yer sınırlaması ve tasarım kolaylığı açısından



Sekil 1. Koordinat Ayar Mekanizması.

mekanizmada gövde boyu sıfır ve tüm kol uzunlukları eşit alınmıştır.

Şekil 1. de, merkezi yukarıda sözü geçen havalı ayırıcıının hava çıkış kesitinin orta noktasında olan sabit eksen takımı olarak XX-YY alınmıştır. İnceleme ve tasarımda gereksinme duyulacak ikinci eksen takımı X-Y ise, merkezi ayar mekanizmasının sabit mafsalında ve XX-YY takımına göre sadece öteleme yapmış olarak konumlandırılmıştır. Bu durumda, Şekil 1. de gözleneceği üzere, tasarım parametreleri; mekanizmanın boyutları (a, b) ile sabit mafsal noktasının hava çıkış kesitine olan uzaklıkları (X_1, Y_1) olarak ortaya çıkmaktadır.

2.2 Tasarım ve inceleme

Daha önceden deneylerle, yerfistigi kabuk ve içinin havanın etkisiyle çizdikleri yörüngeler arasına oluşturulacak en iyi set noktaları saptanmıştır [4]. Bu noktaları kapsayan XX ve YY nin sınır değerleri;

I. Üncelikli bölge:

$$\begin{array}{c|c} 14 \leq XX \leq 22 & | \\ \hline 2 \leq YY \leq 8 & | \end{array} \quad (1)$$

II. Üncelikli bölge:

$$\begin{array}{c|c} 7 \leq XX \leq 25 & | \\ \hline -4 \leq YY \leq 14 & | \end{array} \quad (2)$$

olarak teşkil edilmiştir. Yukarıda sözü geçen bölgelerden II. üncelikli olanı ayar mekanizmasının çalışma alanını genişletmek amacı ile seçilmiştir. Gerek imalat kolaylığı ve gerekse kullanışlılığı

Ayar mekanizmasının tasarım ve incelemesi

bakimindan ayar mekanizmasinin açisal degisenleri olan θ_1 ve θ_2 (Sekil 1.)

$$\begin{array}{l} 0^\circ \leq \theta_1 \leq 90^\circ \\ 90^\circ \leq \theta_2 \leq 180^\circ \end{array} \quad | \quad (3)$$

aralıklarında sınırlandırılmıştır.

Burada temel problem, verilen sınır koşullarını gerçekleyen mekanizma boyutları (a, b) ile sabit mafsal koordinatları (X_1, Y_1) in bulunmasıdır.

Bu probleme yaklaşımında, önce Şekil 1. deki geometrik ilişkiler gözetilerek, biyelin uç noktasının (D) koordinatları daha önce tanımlanan X-Y eksen takımına göre yazılır:

$$x = -(a \cos \theta_2 + (a + b) \cos \theta_1) \quad (4)$$

$$Y = a \sin \theta_2 + (a + b) \sin \theta_1 \quad (5)$$

Eksen takımları arasındaki dönüşüm ise şöyle ifade edilir:

$$xx = x + x_1 \quad (6)$$

$$Y_1 = Y - Y_1 \quad (7)$$

Problemin temel koşulları gözden geçirilirse, kartezyen koordinatlarla (XX, YY) , açısal değişkenlerin (θ_1, θ_2) birlikte yer aldığı görülür. Buna göre tasarım parametrelerinin amaçlara uygun değerlerinin saptanmasına iki şekilde yaklaşılabilir.

(i) Birinci yaklaşımada, tasarım parametrelerinin belli değerleri altında, θ_1, θ_2 açı değişkenleri XX, YY kartezyen koordinatlarına bağlı olarak incelenebilir.

(ii) ikinci yaklaşımada, tasarım parametrelerinin sistematik olarak değiştirilmiş değerlerine karşı, XX, YY kartezyen koordinatları θ_1, θ_2 açı değişkenlerinin fonksiyonu olarak ele alınabilir.

İki farklı yaklaşımın ilk (4), (5) denkleminin ortak çözümünü gerektirir. Bu nedenle (4), (5) eşitliklerinde önce θ_2 yok edilerek, sadece θ_1 e bağlı aşağıdaki bağıntı elde edilir.

$$X \cos \theta_1 + Y \sin \theta_1 - C = 0 \quad (8)$$

$$C = ((a + b)^2 + X^2 + Y^2 - a^2)/2(a + b) \quad (9)$$

(8) denkleminin analitik çözümü için gerekli olan yarımlaçılık formüllerini hatırlatmak faydalıdır.

$$\sin \theta = 2 \tan \theta/2 / (1 + \tan^2 \theta/2)$$

(10)

$$\cos \theta = (1 - \tan^2 \theta/2) / (1 + \tan^2 \theta/2)$$

(10) ifadeleri 5 eşitliğinde yerine yazılıp

$$t = \tan \theta/2 \quad (11)$$

dönüşümü yapılrsa

$$(X + C)t^2 - 2Yt - (X - C) = 0 \quad (12)$$

ikinci derece denklemi bulunur. Bu denklemin kökleri şunlardır:

Ayar mekanizmasının tasarım ve incelemesi

$$t_{1,2} = Y \pm (Y^2 + (X^2 - C^2))^{1/2} / (X + C) \quad (13)$$

dir.

Benzer şekilde (4), (5) eşitliklerinde Θ_1 yok edilerek,

$$Y \sin \Theta_2 + X \cos \Theta_2 - E = 0 \quad (14)$$

$$E = (a^2 + X^2 + Y^2 - (a + b)^2)/2a \quad (15)$$

bağıntısı bulunur. Yukarıda olduğu gibi

$$z = \tan \Theta/2 \quad (16)$$

dönüşümü yapılarak kökler

$$z_{1,2} = Y \pm (Y^2 + (X^2 - E^2))^{1/2} / (X + E) \quad (17)$$

olarak bulunur. (13) ve (17) deki kökler (11), (16) da yerlerine yazılır ve tersdönüştürüm yapılarsa, Θ_1 ve Θ_2 ler XX, YY cinsinden ifade edilmiş olur. Ayrıca ters trigonometrik fonksiyonların iki değerli olmasından ötürü ortaya çıkan 4 farklı kökten, ayar mekanizması için teknik anlam taşıyanlar (4), (5) ifadelerinin sağlanıp sağlanmadığına bakılarak saptanır.

XX, YY değişkenlerinin, (1), (2) nolu eşitsizliklerin belirlediği aralıklarda, sistematik olarak değiştirilmesiyle, bunlara karşı gelen Θ_1 , Θ_2 değerleri hesaplanır. Böylelikle (1), (2) nolu sınır koşulları otomatik olarak gerçeklenmiş olur. Daha sonra (3) sınır koşulu da çıkan sonuçlara göre kolaylıkla denetlenir. (1), (2) sınırları içerisinde çözüm olmayan noktalar mevcut olduğundan, elde edilen sonuçlar grafik hale getirilmeye elverişli degildir. Bu nedenle sonuçların irdeленerek en uygun tasarıma

varılması güçtür. Bu noktada ikinci yaklaşımı başvurmak gereklili olmaktadır.

İkinci yaklaşımında yatay ekseni XX, düşey ekseni YY olan eksen takımında (1),(2),(3),(4) nolu eşitsizlikler kullanılarak, belli tasarım değerleri altında, θ_2 ve θ_1 düzgün aralıklarla (3) nolu bağıntıdaki sınır değerleri arasında değiştirilirse, teknik anlam içeren bir dizi düzgün, yorumlanabilen ve problemin fizигine en uygun düşen pratik egriler elde edilir. Bu egrilerden tasarlanan mekanizmanın hangi alanı taradığını görmek ve aynı eksen takımında yer alan (1),(2) sınır koşullarının karşılığı olan alanların da karşılaştırılmasıyla, ortaya çıkan mekanizmanın tasarım değeri taşıyıp taşımadığını doğrudan gözleme söylemek mümkündür. Bu yöntem bilgisayarın hızlı hesaplama olanakları sayesinde son derece pratik ve doğrudan inceleme ve tasarım aracı olmaktadır.

3. SAYISAL SONUÇLAR VE TARTIŞMA

Yukarıda açıklanan yaklaşımlar bilgisayara uyarlanmıştır. FORTRAN 77 dilinde yazılmış programlarla, problemin fizигine aşinalık geliştirilmiştir. Problemin fizигine aşinalık ise tasarım değerlerinin başlangıçta çok aykırı seçilmesini önleyecektir. Çok sayıda nokta yerine problemin fizигine aşinalıktan gelen birbirine yakın birkaç potansiyel nokta etrafında tasarım parametrelerinin etkileri incelenerek en uygun değerlere varılacaktır. Birinci yaklaşımia elde edilen bilgisayar çıktıları Çizelge 1 deki bir örnek üzerinde gösterilmiştir.

Bu örnekte X_1 değişkeni 7 den 25'e degen 3 er aralıka artırılırken, her XX değerinde ayrıca YY de -4 ile 14 arasında 3 er aralıka değiştirilmiş ve bu koordinat

Ayar mekanizmasının tasarım ve incelemesi

Çizelge 1. Birinci Yaklaşımı Bir Örnek

A=10 B=4 X1=20 Y1=10							
XX	YY	θ1	θ2	XX	YY	θ1	θ2
7.00	-4.00	343.44	92.40	19.00	-4.00	41.88	199.55
7.00	-1.00	356.10	95.55	19.00	-1.00	38.25	178.09
7.00	2.00	8.36	94.88	19.00	2.00	40.86	163.50
7.00	5.00	20.93	90.44	19.00	5.00	46.09	150.57
7.00	8.00	35.50	80.78	19.00	8.00	53.34	137.39
*****C O Z U M Y O K *****				19.00	11.00	63.33	121.90
*****C O Z U M Y O K *****				*****C O Z U M Y O K *****			
10.00	-4.00	346.24	111.09	22.00	-4.00	68.61	224.71
10.00	-1.00	359.32	113.57	22.00	-1.00	57.05	195.95
10.00	2.00	11.21	111.92	22.00	2.00	55.21	177.12
10.00	5.00	22.83	106.88	22.00	5.00	57.68	161.53
10.00	8.00	35.36	98.15	22.00	8.00	63.07	146.51
10.00	11.00	52.52	81.48	22.00	11.00	71.78	129.63
C O Z U M Y O K **				***C O Z U M Y O K *****			
13.00	-4.00	355.12	134.02	25.00	-4.00	85.69	232.75
13.00	-1.00	7.19	133.55	25.00	-1.00	73.54	206.27
13.00	2.00	17.73	129.31	25.00	2.00	69.34	186.31
13.00	5.00	27.95	122.46	25.00	5.00	69.84	169.29
13.00	8.00	38.89	112.93	25.00	8.00	73.81	152.90
13.00	11.00	52.55	98.70	25.00	11.00	81.79	134.41
C O Z U M Y O K ***				*****C O Z U M Y O K *****			
16.00	-4.00	13.45	164.07				
16.00	-1.00	20.45	155.75				
16.00	2.00	27.85	146.91				
16.00	5.00	35.90	137.23				
16.00	8.00	45.09	126.05				
16.00	11.00	56.71	111.61				
C O Z U M Y O K ***							

Çiftlerine karşı gelen θ_1 ve θ_2 değerleri hesaplanmıştır. Çizelge 1. deki örnekler yakından incelendiğinde, "ÇÖZÜM YOK" şeklinde okunan durumlarla karşılaşıldığını gözlenecektir. Bundan, ilgili aralıklarda θ_1 ve θ_2 nin XX ve YY nin sürekli fonksiyonları olduğu ve grafik hale getirilemeyeceği sonucu çıkarılır. O halde bu yolla tüm XX ve YY koordinatlarını kapsayan tasarımlara varmak bir hayli zaman alıcı ve güçtür.

Cizelge 1 deki örnekteki tasarım değerleri ($A=10$, $B=4$, $X_1=20$, $Y_1=10$), ikinci yaklaşımda kullanıldığından Cizelge 2 deki sonuçlar elde edilmiştir. Burada θ_1 , 7 kez 90° den başlamak üzere 15° artırılmış her θ_2

Çizelge 2. İkinci Yaklaşımı Bir Ürnek

X1=20 cm Y1=10 cm				A=10 cm B=4 cm			
θ1	θ2	XX	YY	θ1	θ2	XX	YY
0.00	90.00	6.00	-0.00	0.00	150.00	14.66	-5.00
15.00	90.00	6.48	3.62	15.00	150.00	15.14	-1.38
30.00	90.00	7.88	7.00	30.00	150.00	16.54	2.00
45.00	90.00	10.10	9.90	45.00	150.00	18.76	4.90
60.00	90.00	13.00	12.12	60.00	150.00	21.66	7.12
75.00	90.00	16.38	13.52	75.00	150.00	25.04	8.52
90.00	90.00	20.00	14.00	90.00	150.00	28.66	9.00
0.00	105.00	8.59	-3.4	0.00	165.00	15.66	-7.41
15.00	105.00	9.07	3.28	15.00	165.00	16.14	-3.79
30.00	105.00	10.46	6.66	30.00	165.00	17.53	-4.41
45.00	105.00	12.69	9.56	45.00	165.00	19.76	2.49
60.00	105.00	15.59	11.78	60.00	165.00	22.66	4.71
75.00	105.00	18.96	13.18	75.00	165.00	26.04	6.11
90.00	105.00	22.59	13.66	90.00	165.00	29.66	6.59
0.00	120.00	11.00	-1.34	0.00	180.00	16.00	-10.00
15.00	120.00	11.48	2.28	15.00	180.00	16.48	-6.38
30.00	120.00	12.88	5.66	30.00	180.00	17.88	-3.00
45.00	120.00	15.10	8.56	45.00	180.00	20.10	-1.10
60.00	120.00	18.00	10.78	60.00	180.00	23.00	2.12
75.00	120.00	21.38	12.18	75.00	180.00	26.38	3.52
90.00	120.00	25.00	12.66	90.00	180.00	30.00	4.00
0.00	135.00	13.07	-2.93				
15.00	135.00	13.55	.69				
30.00	135.00	14.95	4.07				
45.00	135.00	17.17	6.97				
60.00	135.00	20.07	9.20				
75.00	135.00	23.45	10.59				
90.00	135.00	27.07	11.07				

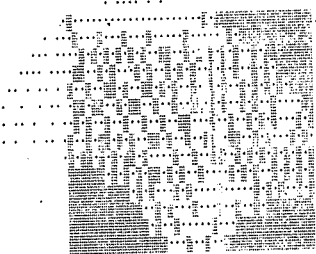
değerinde, 0° ile 90° arasında düzgün miktarlarda 7 kez değiştirilerek her seferinde ilgili XX, YY koordinat çifti hesaplanmıştır. Çizelge 2 deki tüm değerler gözden geçirildiğinde, Çizelge 1 deki durumun tersine, tekil noktaların bulunmadığı gözlenecektir. Bu, ikinci yaklaşımın daha çabuk sonuca götüreceğini sayısal bir kanıtıdır. Ayrıca, θ_1 ve θ_2 nin sınır değerlerinin denetlenebilmesi, Çizelge 1 de sorun yaratırken, Çizelge 2 de θ_1 ve θ_2 ile düzgün olarak değişen XX ve YY değişkenlerinin sınır değerlerinin aşılması önemli değildir. Sonuçta tasarıma ikinci yaklaşımla devam edilmesi kararlaştırılmıştır.

Tasarım parametrelerinin mekanizmanın taradığı bölgeleri nasıl etkilediğini görebilmek için BASIC dilinde kodlanmış bir program yardımcı ile Şekil 2,3,4,5,6,7 de verilen grafikler çizilmiştir. Sözkonusu grafiklerde sınırları belli alan, sık noktalı dikdörtgen şeklinde; mekanizma tarafından süpürülen alan ise seyrek ve büyük noktalarla gösterilmiştir. Şekil 2 ve 3 ün karşılaştırılmasından X_1 parametresinin mekanizma bölgesini yatay doğrultuda ötelettigi görülecektir. Şekil 2 ve 5 ise Y_1 parametresinin taralı bölgelenin düşey doğrultuda yerdeğiştirmesine neden olduğunu sergilemektedir. B(b) paremetresinin taralı bölgelenin uzunluğunu değiştirdiği ise Şekil 2 ve 4 ün birlikte izlenmesinden anlaşılacaktır. A(a) parametresinin etkisi, Şekil 2 ve 6 dan, mekanizmanın süpürdüğü alanın üst kısmında büyümeye ya da küçülmeye neden olma şeklindedir. Sözkonusu alanın her doğrultuda büyütülmesi ya da küçültülmesi ise A(a) ve Y_1 parametrelerinin birlikte değiştirilmesiyle mümkün gözükmemektedir, Şekil 2 ve 7.

Yukarıdaki incelemelerin ışığı altında en uygun tasarımın Şekil 2. de verilen değerlerden oluştuğu yargısına varılacaktır. Gerçekten, bu tasarımda I. Öncelikli bölgelenin tamamının mekanizma tarafından kapsandığı; II. Öncelikli bölgelenin ise %76 gibi, diğerlerine göre, büyük bir kısmının tarandığı ve koşulların yerine getirildiği gözlenecektir. Elde edilen en uygun tasarımdan ortaya çıkan, XX-YY ile $\Theta_1 - \Theta_2$ ilişkileri, Şekil 8 de, bir "Kalibrasyon Eğrisi" haline dönüştürülmüştür. Burada XX, YY, Θ_1 , Θ_2 değişkenlerinden herhangi ikisi verildiginde diğer ikisini bu egriden bulmak olasıdır.

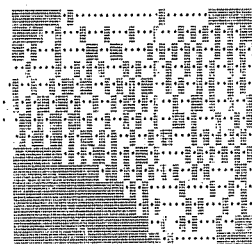
AKÇALI ve MUTLU

A= 10 B= 4 X1= 20 Y1= 10



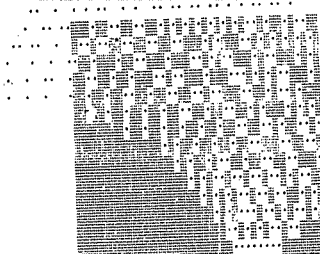
Sekil 2.

A= 10 B= 4 X1= 16 Y1= 10



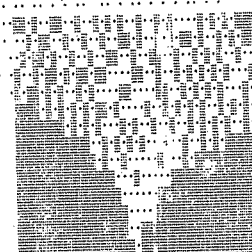
Sekil 3.

A= 10 B= 8 X1= 20 Y1= 10



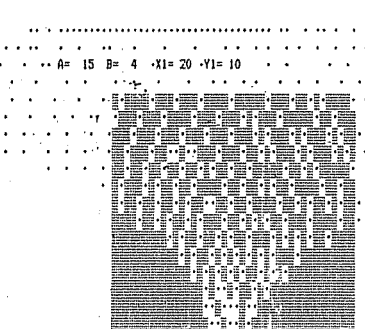
Sekil 4.

A= 10 B= 4 X1= 20 Y1= 5

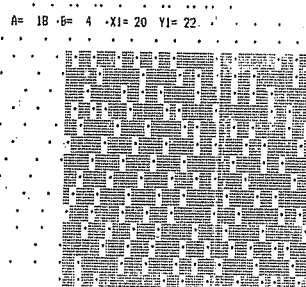


Sekil 5.

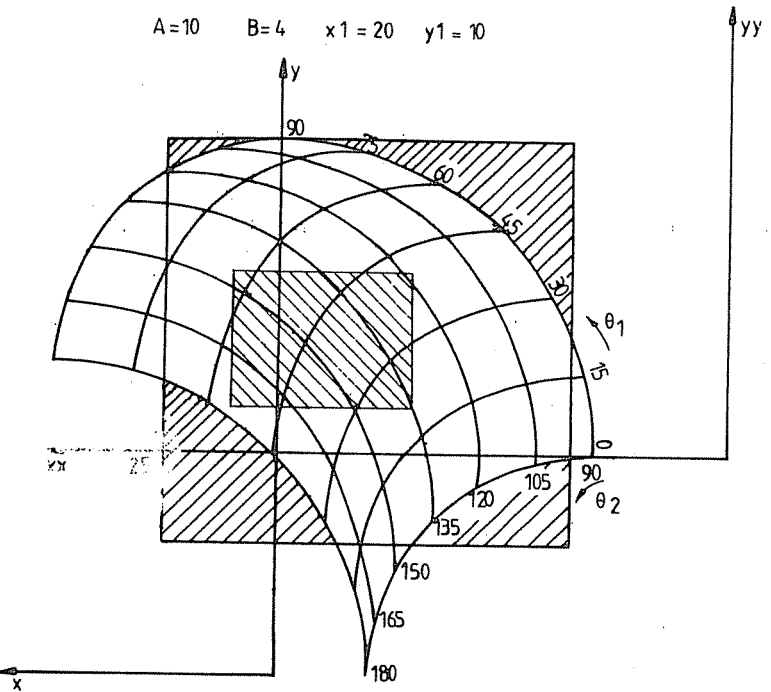
Ayar mekanizmasının tasarım ve incelemesi



Sekil 6.



Sekil 7.



Sekil 8.

AKÇALI ve MUTLU

4. SONUÇ

Bu makalede paralelkenar bir ayar mekanizmasının tasarım ve incelemesi yapılmıştır. Önce verilen koşulları gerçekleyecek iki tasarım yaklaşımı gösterilmiştir. Sonra bu yaklaşımalar bilgisayara uyarlanmış ve bunlardan en hızlı sonuca götüreni uygulanarak en iyi tasarım ulaşılmıştır. Bu tasarım daha sonra imal edilerek kırılmış yerfistiklerinin içlerinin kabuklarından ayrılması işleminde pratik ayar olanlığı getirmiştir. Bu ayar olanlığı sayesinde söz konusu havalı ayırıcıda yapılan deneylerde, daha önce [4]'de elde edilmiş toplam verim %94 ten %98'e çıkarılmıştır.

KAYNAKLAR

- [1] J.Volmer: Getriebetechnik Koppelgetriebe, Veb Verlag Technik, Berlin, 1979
- [2] G. Dittrich, R.Braune: Getriebetechnik in Beispielen, R. Oldenbourg Verlag, München, 1978
- [3] G.H Martin: Kinematics an Dynamics of Machines McGraw-Hill Book Co. New York, 1969
- [4] f.D. Akçalı, S.Mistikoglu: Yerfistigi iç Ayırma Makinası Ç.U Müh.Mim.Fak. Dergisi 2/1 (1987), 155-167

DERGİYE GÖNDERİLECEK MAKALELER İÇİN YAZIM KURALLARI

- 1- Gönderilecek makaleler, Mühendislik Bilimleriyle ilgili başka bir yerde yayınlanmamış orjinal bir araştırma niteliğinde olmalıdır. Çeviri ve derleme makaleler kabul edilmez. Yazı dili Türkçe'dir.
- 2- Dergi ofset teknigi ile basılacağından, düzeltilmiş kesin makale silintisiz ve normal IBM karekteriyle 1 orijinal ve 2 kopya olarak gönderilmelidir. Makaleler ilk gönderilirken normal bir dactilo makinası ile yazılabilir. Düzeltmeler yazarlar tarafından yapılır.
- 3- Sayfa solda 4 cm, diğer yönlerde 3 cm boşluk bırakılarak doldurulmalı, ilk sayfada başlık Üstten 5 cm boşluk bırakılarak yazılmalıdır.
- 4- Makalenin başlığı metne uygun kısa ve açık ifadeli olmalıdır. Başlık büyük harflerle ve sayfa ortalaranarak yazılmalıdır.
- 5- Makale 1.5 satır aralığıyla yazılmalıdır. Alt başlıklarla ilk paragraf ve paragraflar arasında 1.5 aralık bırakılmalıdır.
- 6- Yazar ad ve soyadları ünvan belirtildiğinden başlığın 1 cm altına sayfa ortalaranarak yazılır. Yazar sayısı birden çok ise hepsi alt alta yazılır. Yazar adresi (Üniversite, Fakülte, Bölüm, Şehir) ilk sayfanın altına çizgi çekildikten ve (X) , (X X)... v.b.g. işaretlerle yazar adlarının sağ üstünde belirtildikten sonra dipnot olarak verilmelidir.
- 7- Makaleler, çizelge, şekil ve fotoğraflarla birlikte en fazla 15 sayfa olmalıdır.
- 8- Şekil ve grafikler çini mürekkep ile aydinger kağıdına veya beyaz kuşe kağıda çizilmeli, resimler parlak fotoğraflar kartına siyah-beyaz ve net basılmış olmalı hepsi şekil olarak numaralandırılıp, şekil altı yazılmalı ve metin uygun yere yerleştirilmelidir.
- 9- Çalışma herhangi bir kurumun desteği ile yapılmış ise, bu ilk sayfa altına başlıkta (X) ile belirtildikten sonra, dipnotu olarak yazılmalıdır.
- 10- Başlıklar 1., 2.,... ve alt başlıklar da 1.1, 1.2,... v.b.g. numaralandırılıp alt başlıklar küçük harflerle, fakat kelime baş harfleri büyük olarak yazılmalıdır.
- 11- Metindeki eşitlikler (1), (2),... v.b.g. numaralandırılmalı ve numaralar sayfanın en sağına yerleştirilmelidir. Dactilograda bulun-

mayan işaretler, siyah çini mürekkep ve şablon kullanılarak (veya elle çok düzgün bir şekilde) yazılmalıdır.

- 12- Makalede sayfa numaraları üst sağ köşeye kurşun kalem ile yazılmalıdır.
- 13- Makalenin bölümleri aşağıdaki sıraya göre olmalıdır: Türkçe başlık özet, ingilizce başlık ve özet, Metin, Teşekkür 'gerekli ise' ve Kaynaklar.
- 14- Özetler en az 5, en fazla 10 satır olmalıdır. Özettek sonra makalenin İngilizce başlığı büyük harfler ve sayfa ortalararak yazılıp, bunun altına da "Abstract" İngilizce olarak verilmelidir.
- 15- Metinde mutlaka giriş ve sonuç bölümleri bulunmalıdır. Ara bölümler Materyal ve Metod, Deneysel çalışma, Teorik Esaslar gibi başlıklar veya alt başlıklar şeklinde düzenlenebilir.
- 16- Metin içinde Kaynaklara atıfta bulunulmak istenildiğinde, yazar adı verilerék veya verilmeksızın kaynak numarası köşeli parentez içinde gösterilecektir. Numaralandırma metinde veriliş sırasına göre yapılmalıdır. İkiiden fazla yazar sayısı durumunda ilk iki yazar adı yazılıp, türkçe kaynaklarda "ve di" yabancı kaynaklarda "et al" ibaresi eklenir. Kaynak makale ise, önce yazar adı baş harfi, yazarın soyadı, makalenin adı (yalnız ilk kelimenin baş harfi büyük), Derginin adı veya varsa kısaltılmış adı, dergi cilt ve sayısı, parentez içinde senesi ve en sonada başlangıç ve bitiş sayfaları tire ile ayrılarak verilir. Kaynak bir kitap ise yazar adının ilk harfi, soyadı, kitap adı (kelime baş harfleri büyük), yayınevi, yayın yeri, yayın yılı ve gerekliyse sayfa numarası verilir.

ÖRNEK:

- [1]. A.E.Bergles, Recent development in convective heat transfer augmentation, Appl. Mechs, Rev., 26 (1973), 675-682,
- [2] P.J. Roache, Computational Fluid Dynamics, Hermose Publisher, Albuquerque, 1976, (Tez, tebliğ, rapor da makaleye benzer biçimde kaynak olarak verilir.)

- 17- Yazara bir cdt dergi Ücretsiz olarak gönderilir ve makale için bir telif hakkı ödenmez.
- 18- Dergiye gönderilen yazılar, yayınlanın veya yayınlanmasın iade edilmmez.
- 19- Makaleleri yaynlama yetkisi Dergi Yayın Kuruluna aittir.
- 20- Dergiye gönderilecek makaleler aşağıdaki adres'e gönderilmelidir:
Çukurova Üniversitesi, Mühendislik-Mimarlık Fakültesi
Dergi Yayın Kurulu Başkanlığı
Balcalı/ADANA

